例会講演要旨集

第 4 号

集!	中豪雨に関するシンポジュウ	ل (19	7 6年	3月1	8日	高知市薬剤師会館)
1.	台風7505とそれにともなう豪雨経過の概要	高知気	石	丸	順一	
2.	台風7505による集中豪雨の解析	高知気	竹	永		雄3
3.	台風による豪雨災害の型について	京大防	中	島	暢太	大郎5
4.	集中豪雨の崩かい現象	気 研	奥	H		穣7
5.	台風7505による日下川波介川の水害	京大防	永角	井屋	明	博 <u></u> 9 睦
大	規模現象	(19	7 6年	三8月]	10日	大阪管区気象台)
1.	現象の規模を考慮した天気図解析例について	奈良気	松	岡		隆11
2.	100mb循環場よりみた西日本の暑夏・冷夏の特性	大阪管	堀	竹	昌	治13
3.	暑夏年の検討ー昭和50年度全国長期予報技術検討会	京都気	富	田	正	夫15
	の報告・					
4.	ヒマラヤの気象	京大防	中	島	暢ス	太郎19
5.	大気の大循環の中の日本の気象の指導一気象衛星雲写	高松高	Ш	田	幹	夫22
	真の利用-					
6.	特別講演MUレーダーによる地球大気の観測	京大工	加	藤		進25
7.	大気夜光強度変動からみた上層大気の運動	京大理	福	Щ		薫27
8.	非断熱過程におけるプラネタリー波のエネルギー輸送	京大理	Ш	平	浩	
9.	赤道波の励起機構について	京大理	伊	藤	久	德 33
10.	気候の問題への新しいアプローチー時間成分を展開し	京大理	鬼	頭	昭	雄37
	た大気大循環スペクトルモデルー					
11.	対流圏超長波エネルギー過程の解析ー非線型運動エネ	京大理	岩	嶋	樹	也41
	ルギー交換量の算定ー					

1976年8月10日 日本気象学会関西支部

台風か5号とてれにともなう豪雨経過の概要

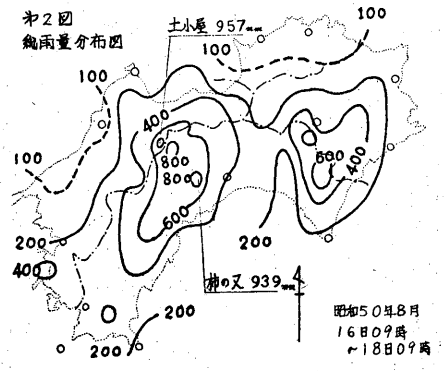
石丸順一郎 (高知地才気象台)

1 台風概要 昭和50年8月/2日09時、カロリン群島の北方350kgの 海上に弱い熱帶低気圧が発生した。この弱い熱帶低気圧は発達して、/2日/5時に中心気圧996mb、最大風速は20%となり 台風力5号となった。このととは小型の弱い台風であった。

その後、台風は北西に進んだが、/3日の9時からは追路を北西にかえ次切に発達し、/4日の3時には中心気圧は955mbとなって、大型の強い台風となった。台風は毎時30km前後の速度で北上し、/5日の3時父島の南西約600kmの海上で中心気圧920mb、最大風速50%、風速25%以上の暴風域の半径は2m200kmとをり最盛期に達した。

台風は大型の强い勢力をもったまま。 / 5日昼こ3より速度は毎時 / 5 kmと遅くなって、進行才向を北西にかえ中つくり四国南岸に接近した。 このこ3 気象衝星 「ノア」から撮影した写真によれば、台風の東半円は西半円にくらべはるかに広大な雲分布をしていた。

台風は17日の8時50分:3 宿毛市付近に上陸した。上陸時の勢力は中型の並で、09時の中心気圧960mb,最大風速40%,風速25%以上の暴風域は東側200km,西側1/0kmであった。



2 豪雨の経過

台風はいくぶん 表 うしをから 四国西岸を北西進し 昼す で 伊 予 難へ入り、 16時30分こ3山口県徳山市の西に再上陸した。 15時の中心気圧980mb, 中心付近の最大風速25%であった。その後も北西に進んで18時すご山口県萩市付近を通って日本海に出た。

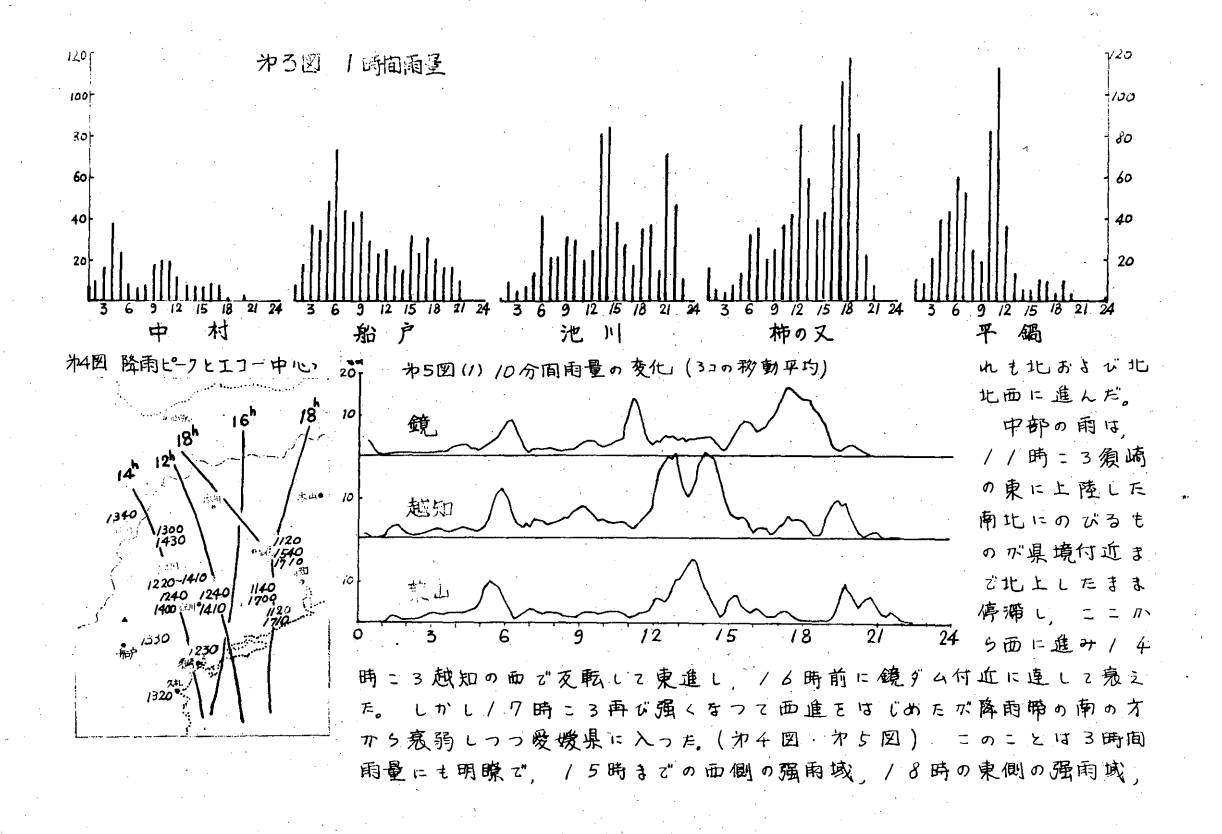
台風は日本海で急速に衰之。 / 8日 0 9 時ウツリョウ島 付近の海上で中心気圧 9 9 8 mbとなって 9 1 熱帯低気圧と ほつた。この弱い熱帯低気圧は / 9日 0 9時には温帯低気 圧とをって日本海を東北東に追み、20日朝、北海道 渡島 半島南部を通って、北海道の南海上で消滅した。

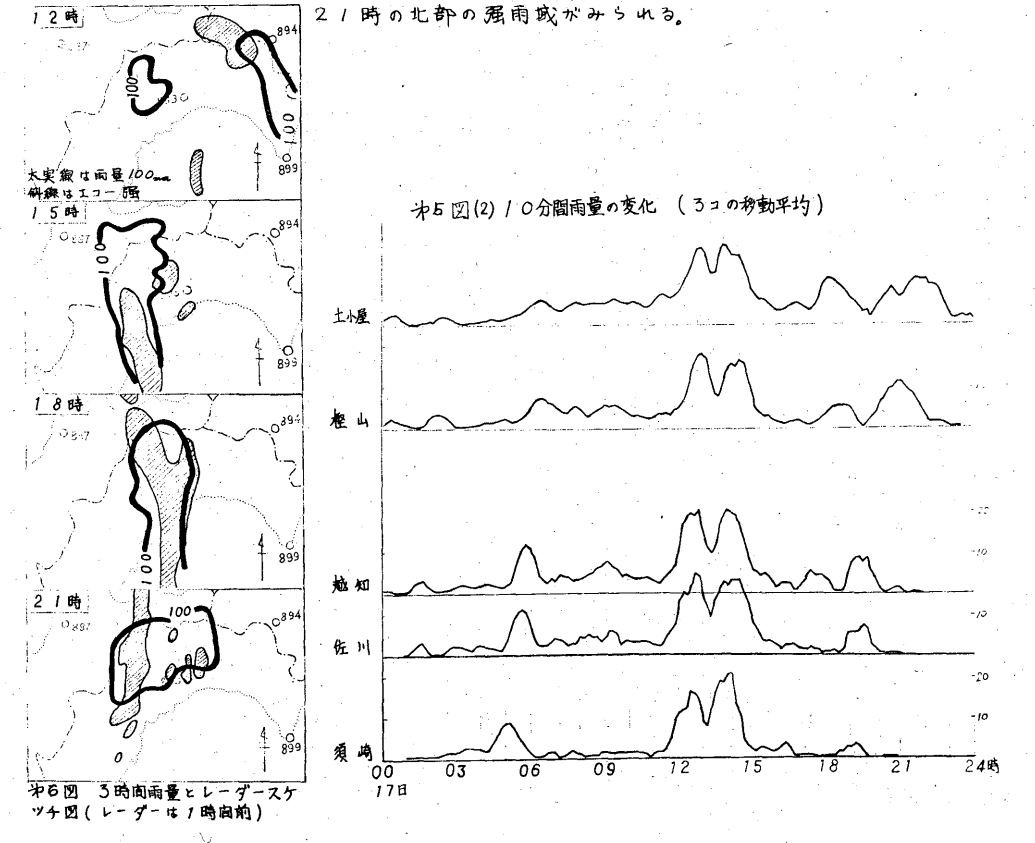
16809時 白風水足摺岬の南南東,約/50kmの海上に連した/6 16809時 日夜半ころから高知県南西部は暴風圏に入って。強い雨を ともをラ/5%以上の東よりの風が吹き、県東部では夜明けころ。西部では朝から昼にかけて20 %以上の暴風が吹き、足摺岬では32、1%の最大風速を観測した。

台風が足摺岬の南南東約/50kmの海上に達した/6日夜半こ3から, 高知県では強い雨が断続的に降り始め、17日の明けオニ3一月強くをつて06時までの1時間に東津野村船戸では74mmを観測した。台風が四国西岸を北上している午前中は東部で激しい雨が降り平鍋では1/時に1時間量は1/4mmとなった。中部では台風が伊予灘に入る昼こ3か5日本海に抜けた夜にかけて、

せらに激しい豪雨となって / 時间雨量は本川 τ / 7時に / 3 5 mm 3 時间雨量は柿の又 τ / δ 時に 3 0 2 mm となった。

今回の豪雨は大きく分けると、17日の明け方こる歌しく降った西部の雨、午前中から昼こるにかけて歌しかつた東部の雨、午後から夜にかけての中部の集中豪雨と3群に分けられる。(沖3四)。このうち前2者は室戸岬・灰ケ峯レーダーの合成図あよび10分間雨量の変化よりみると、台風にともなうレイン・バンドであって、西部の雨は02時すぎ足摺岬に上陸した東西にのびる降雨帯であり、東部の雨は09時すぎ佐吾浜付近に上陸した北北西から南南東にのびる降雨帯で、いづ





台風7505による集中豪雨の解析

竹水一雄(高知地方気象台)

- 1.豪爾の広域的特性。
- U).この台風は真夏の台風にしては、非対象性が苦るしく、全層を通じて右象限の南風が強く、 圧象限の風が極端に弱かった。それに伴、て多くの気象要素も非対象分布を示した。(図1参照)
- (2). 夏聖台風の特徴として、中八域の上層では顯着で高温域を形成していたが、台風の後面でこの高温域から離れることになり、下層では逆に暖気の流入が渡まったことが、安定度悪化の原因となり、たる(四2、四3. 四4参服)
- (3). 台風が北口面に進くだっめ、下層の同系が変らず、土佐湾から南東国と南西国が炊車した。 集配線も形成し、これが長時間停滞した。(図5、図6参照)
- (4). 台風通過に伴って、下層に割西諸島方面から、著るしい暖湿気流が流水込んできた。(四千参照)
- . 5). 多くの梅桐前線豪雨と遅って,上層に顕著な寒気はなく,下層におりる暖気移流の強化が, 寒雨の主凶になっていたことから,暖気性巣中豪雨の典型である。

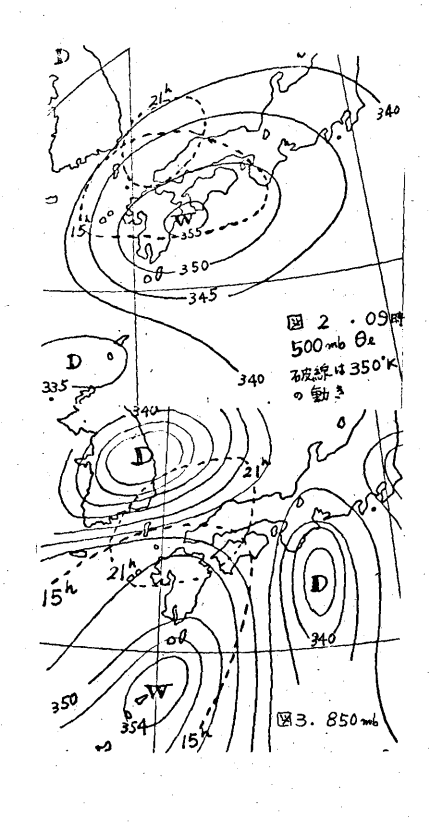
乙、豪雨の同地條件、

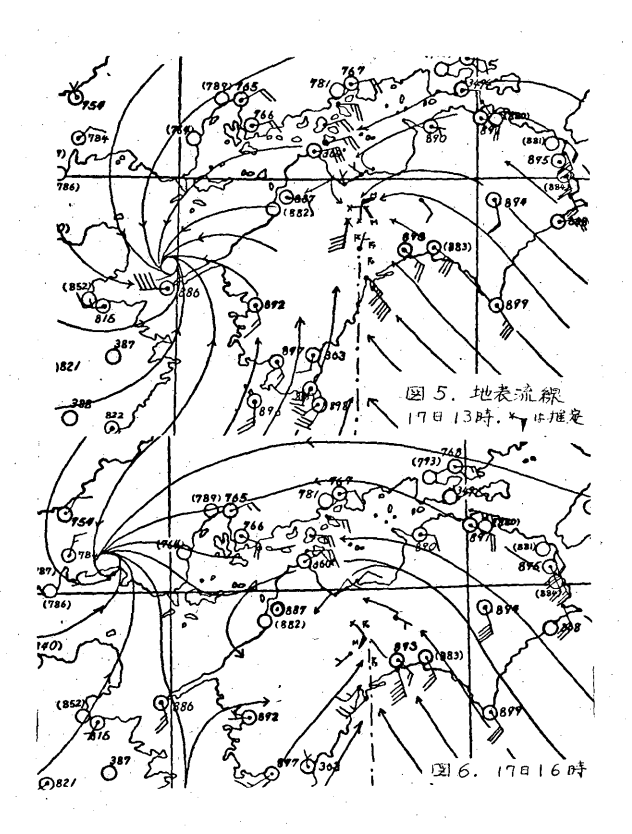
- (1)・今回の一連の表面は、場所、降雨時到及が原因などから、19日産ごろまで、登ごろから15時ごろまで、15時から19時ごろまで、及ぶその後の降雨に大別することができる。このうな午前中の降雨は台風中心域内の収束と、強風による地形上界によるもので広域に降り、続くは時までに降った面側の雨と、19時ごろまでと降った東側の両が主力の芽中豪雨となった。後に入ってからは暖気設流の弱まりのためりなかった。1回の表面の寿命は3時間くらいであった。
- (2)、午後の早中表面には、四国山地の斜面及び摩擦効果、さらに谷反び地表の粗度による効果が

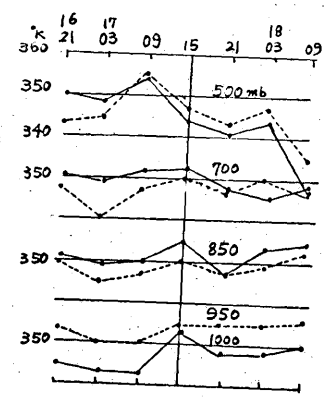
殿著に理りれていた。(国7参照)

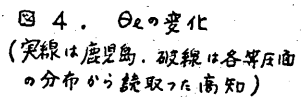
- 3),地形的に南よりの気流が狭い地域に收束して、幅10~15キロの流路を作り、右域條件が長時間に亘って大きく変化しなかったため、そのシステムが組続した。
- (4), どの結果は逆に土祉湾からの股気の牧東も強めることになった。南北に帶状の集中豪雨が結 続したのはそのためと思かれる。
- (5)、地形効果が大きく効いて、四国中部の摩擦層内において、台風の本体とは別の撲乱系が形成され、これが高方からの快東を強める原因とよった。
- (6)、以上の考察から、土佐湾で收束した暖気は、谷に治って、摩擦層の上部を急速に滑昇し、四国山脈の分水が、機を強い南よりの風となって吹き抜け、その南斜面において激しい上昇流を起した。
- (7)、最も降雨の激しか、た地域は、海岸線と四回山脈の分水殻とのほぼ中央部で、平均高度は300へ600mの間である。この地域では豪丽期間中、断続的上雷雨が発生した。
- (少)・著るし、湿った気流が、土坑湾の海面上と剪々西風となって流入した。この空気は海面上ですで上館和上近く、多量の階熱の放出も夏地すことはできない。
- (9)・過去にかける第一級の来中東雨の発生状況によると、発生地は凹回の南部と東部に限定されて、南へ南東へ東の風的に直面していること、平均された石に来中していること、その7割くらいが平均高度300~600 四月、分布していることから、四回地方にありる集中豪雨は、今回の豪雨と同じように地形効果が極めて大きく、その降雨機構も類似したものが多いと推撃される。(図8)

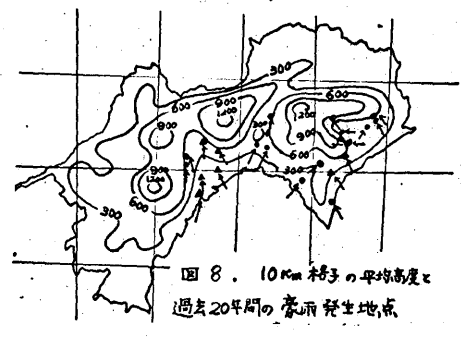
図1. 850 動流線と等風速線(点線) kl 17日 15 時 ヘゾンデ ヘム缶 ヘレーダ モ下層雲向

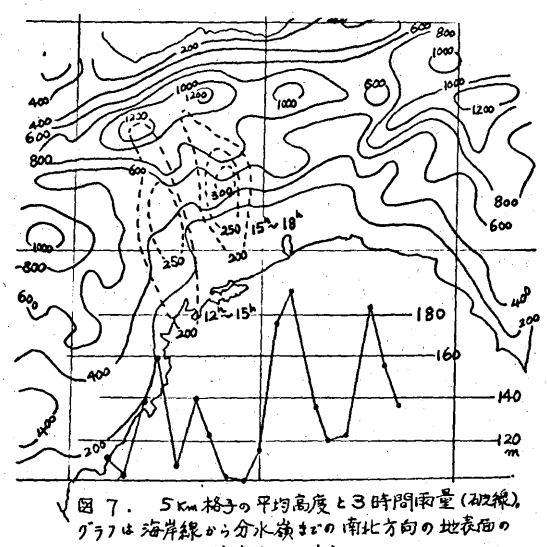












粗さ(5km毎の商度差の平均)

- 図8の豪雨條件 (1印は豪丽時の主風面) 1時間 100 mm <
 - 2 時間 150 mm < 3時間 200mm<
 - 50mmくの時間雨量が3時間以上継続.

台風による豪雨災害の型について

中島暢太郎 (京大防災研究所)

1 はじめに

今回は台風かりを中心とした集中豪雨のシンポジウムであるが、ここでは台風による豪雨が場所によりどのように異なり、また、台風と豪雨はどのような因果関係によって話ばれて与り、さらに原因によって降り方にどのような差異があるかについて総合的に考えてみたい。四国地方を倒にとってみても、昭和45年の100号と昭和50年のかりとは似たようびコースを通っているが、雨量分布や被害の状況にはかびりの差がある。また、おけじ今回の台風による豪雨災害も四国と北沿道東北ではかなり性格を異にしている。これらを比較検討することはきわめて重要なことであるう。

2 台風豪雨の地理的差異

日本各地の24時間降水量の最大値の分布をみてみると九州西岸や九州から輿東までの太平洋岸では400mm以上りところが別いが、日本海側ではせいぜい200mmで、北海道や東北北部ではほとんじ100mm以下である。この原因としては南よりの気流は水蒸気の輸送量が大きいが、北よりの気流は最大水蒸気張力の減少のため水蒸気輸送量が入ることが考えられる。またもう一つの大きな原因としては台風は日本に接近するまでは大きは勢力をもっているが上陸して北上するにつれて弱まることがある。しかし豪雨に対する挫扰かは用量の少ないところへ行く程減大するため、北海道でも台風豪雨による被害があることは今回の台風ち、6号の倒でも明らみである。地理的に大別すると次のようにわけられる。

a) 九州西岸から太平洋岸にかけて ――この地域では台風が近ずくと昔に中心から東の方で広大の地域にわたって早くから同かっかき、台風が強いまま上陸することもしばしばである。台風が

北に抜けた後も

南風の持続で大雨が残ることも

あい。この型は東北地方から北海道の太平洋率にまでひろがることもある。

- b)山陰、北陸沿岸 —— 台風が日本海に抜けた後、まだかなりの勢力を保っている時は台風中心の面側の沿岸地方で大雨がある。台風が温帯他近圧化しはじめると、それに伴う強い寒冷前線の風光によって東中的な強い雨が降ることがある。
- c) 北海道、東北地方の西部 ——この付近では台風が温帯修気圧化している場合が大部分であり、 前線に沿う帯状の大雨域が発生する。

3 台風豪雨の原因

台風による豪雨といっても、その形態はいるいるあり、地形や前線や低気圧との複合効果としているいるの型の豪雨が発生する。次にそれらについて到記する。

- a) 台風の構造に伴うもの(レインバンドによる大雨) ― これには2、の局面がある。等1は波状的な犬雨である。台風が南から接近して東た時、海洋地方では次次とレインバンドが通過するたびに波状的な降雨を経験する。台風で010号の場合の高知県中村などの自記紙にはされいな波状降雨が見られる。一方、台風が北に抜けた後、進行方向によっては台風の後方に近びる着しいレインバンドがかなり長時间にわたって1地点に停帯して局地的な長時間豪雨をもたらすことがある。これは前首と異なってミクロな構造よりむしろ広城の収束線を伴ったレインバンドの効果である。台風7408号による小豆島の犬雨や台風でちのか号による高知県の犬雨などがこれに入る。
- b)台風に伴う強風と地形の複合効果によるもの――これも2つの型に大別される・第1は、大型の台風が南海上から接近する時にその東側前がに常にみられる広域の地形性の大雨で、四国や近畿地方の南東斜面でよく知られたものである。この型が広域にわたるのが特色であるのに対して地形による収束効果は大雨を集中させる。台風6626号による南よりの湿った気流は富士山の面側で収束によって山梨県に集中豪雨をもたらしたが、このような例も为数存在する。
- C) 台風とその東側の爪平洋高利圧の間の菜風線(収束線)によるもの―― b)型と似た面もあるが、台風の東側の南よりの風は必ずしも一様でなく、爪平洋高利圧を押しのけるようにして、北上して来た台風と東側の高利圧との間には、台風中心からかなり乗ってで等圧線の発棄するところ

が存在することがしばしばあり、集風線や質束線と呼ばれることがある。単独で作用するよりは、地形や前線と複合作用をする場合の方が炒いが 因子としては一つの独立したものである。台風6523号はどは四国に上陸したのに雨域は伊豆半島付近まではばれている。

- d) 台風と前線の複合作用 ――― 台風が南海上にある頃に日本の上望に前線が停滯していると台風中心の東側では前線に沿う収束が強まり、前線上の雨が強くなる。このような場合、大雨のピークが前線によるものと台風上陸によるものと2回ある場合もあれば、前者の方がはるかに強い場合もある。台風なる15号は九州南方海上から北東進して御前崎付近に上陸したが、丁夏日不付近を南下中の寒冷前線に台風による南風が吹きこんで高知県から楚知県にかけて最雨の被害が発生した。
- e) め、の変形で、前線上を修えたが東進する場合 ―― たまたま前線上を修えたが適っている時に、割から台風が接近すると大雨とかる。台風を90ク号は小型の台風で違かに北上したが、丁度前線上色台風 6号の温帯修気圧化したものが通過中で大雨を降らせたが、小型の台風が上陸した時には著しい大雨は見らればかった。
- f) 台風の温帯他気圧化に伴うもの――台風が日本海まで北上した場合、一旦衰えかけた台風が終存の前線上で温帯他気圧として雨発達することは洞爺丸台風の間はじでよく知られているが、台風フェッを多やフェッる号の例でもこっために北海道や東北地方で裏前災害が発生した。この場合の大雨域は前線に沿うて帯状に辿び、海棒だけでなく内陸にまで延びている場合があることがその特色である。

4 豪雨城の空间スケール

豪雨城の空间スケールは台風のスケールと一応関係はあるか必ずしも一義的ではない、上述り台風よりの7号のように非常に小型の台風であっても、それか引金となって広城の大雨を降らせる場合があるからである。こらに台風進路の问題と進行速度の问題がある。日本列島に沿って南孝だいに哀えることなく比東進するような台風の大雨城はひろがり、日本列島に直交して北西進するよう

な台風による直接の大雨域は小さい、もちるん、空向スケールが大きいほど被害が多いというわけではなく、むしろせきい地域に集中している場合の被害が拡大になるケースが多い。

5. 一地点の裏面の瞬间スケール

- 地点、豪旬の時間スプールも考える場合に、3つの要因がまず考えられる。第1は台風。進行速度である。一般には早く通過する台風によっては短時間の集中裏角があっても長時間の大雨にはならないと考えられる。第2は台風の滅裏速度である。いっまでも強い勢のと大きな規模を維持している台風に対しては、特に地形性降雨が長つかきする。第3は地形やレインバンドによる大雨の集中性の問題である。地秘的に降りやすい四国や近截地方の東南斜面などでは必然的に時間スケールは大となる。もう一つの要素は倒えば台風クチのち台風のように台風が比較的速く移動しているにかかわらずレインバンドがいっまで台四国中部に国定されているようなケースで倒示される。

6. 台風による豪雨と水災害

以上、白風による豪雨のいろいろな型について述べてきたが、災害について論じる場合には抵抗力と調料的に論いなければならない、抵抗力には地質、地形などの自然環境と、提防の強さや静市化の程度のような人間がつくり出したものとがろう。したがって防災上は、この抵抗力の合布圏をあらかじめ作放しておくことが重要である。大河川に対しては配制量が重要であり、小河川やエ石流、山腹崩壊、都市内の氾濫などについては前期降雨と共に災害の引金作用となる強雨も重要である。高知県を例にとっても台風フロノの号では高潮と洪水の相互作用というような降雨以外の向緩がクローズアップでえれ、今回の台風フチロケ号では平地氾濫と山腹崩壊のはさみうちというような問題がフローズアップでえれた。

1. はしかえ

昨年台の5子により高知県は大きい災害に見舞われた。その災害を入さくしたのは数多くの崩壊 であった。集中裏雨と崩壊との関係はまだよくわかっていない。 大滝俊之(1965)は横浜市内の笙 くず4と1時間雨童との関係を影響関数を用いてボめたほか、名嶋廖(1993)は建設者河川局的防 初地すべり 打屎室,建設有土木研究所名傾斜崩捻研究的の「似什解如父年宴愿调查一中陶集計一」(1972) の全国的な资料を用い、1時间面量20024時间雨量との関係を求めているなど、総計的に雨と崩壊 との関係が調べらしてまた その結果 / 時间两堂では20 mm以上の降雨強度, 24時间嗣堂では 200㎜以上となると、崩壊が激増することが結論づけらんている。また、 鹿児島地方気象台の調 重じは、崩壊発生時刻11/時间最上雨量の出現時刻のの~3時間後の周じ、降雨直後如全体の45 8色日めているという。筆者は1971年9月房終半島を整。た秋剛前線と台目25号による豪丽で発生 した崩壊と各種的量との関係を調べ、10分周兩量が加以上の降雨速度の時間的奥中度の走きい地路 上崩遠い多元し、集中度の小さい地域はナないこと、10分間を1=よる降雨温度の時間的差動の多3 波を中公に崩壞が激発していることと見出した(1972)。 その後、台川1220号による鈴鹿山地面斜面 滅賀県永鴻寺町を中いとした崩壊や、昨年7月7日静岡市を覧ったいあゆる"大夕裏面"の笑きにつ いてり検討を加えた結果、ほぼ同なの結果を得た、以下、辛者の検討結果を局単に述べ、さらに筆 者の研究室で室施した雨水の配分に関する研究観測結果を基にして、降雨の崩壊現象に関係すると 見られる町水の配分とこのな明について言及したい

2. 崩壊と10分間両量(房総半島の側を中心に)

1971年9月6~8日上旬计了秋丽前旅上台风25子1269,約8,000個阶上的3崩壞的房総半島。任何

全域におた。1 発生した。 総両量は勝浦かかりmmを最高に 24時間同量、 /時間同量の最大もそれが此勝瀬の408 mm, 122mmを最高に、海岸近くから内陸に入るた程。こ 減少するという分布をした。これに対し崩壊発生数の分布 は図ー1にますように若干内陸部に入った地域の最多をまし、 総同量、24時最太明章、12時間、6時間、1時間の名 最大雨量の分布も発生数か24時間同量で200mm以上、1 時間兩量で20mm以上となったところで多発することは総 計的に成立しても、 電的な相互関係は成立していないこと を意味する。

午葉県は、の崩縁安善を重視し、詳細な崩壊室整調をを 実施したが、るのなかが崩壊発生時刻を30分学位でまと めている。そのなかから勝瀬と今古の時刻別発生数を表し にすした。われわかはまず10分間用色の時間差動が地所 た崩壊発生時刻と対なしているかを見た。同-2に勝浦、多 古の10分間両色の時間差動を示したが、表-2の時刻影崩壊 発生数と対比して見ていただったい。勝浦では10分間降

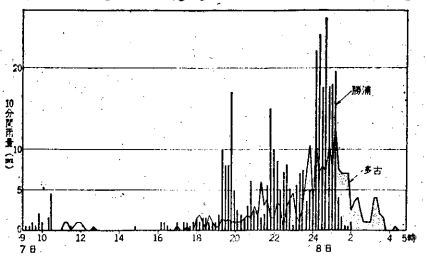
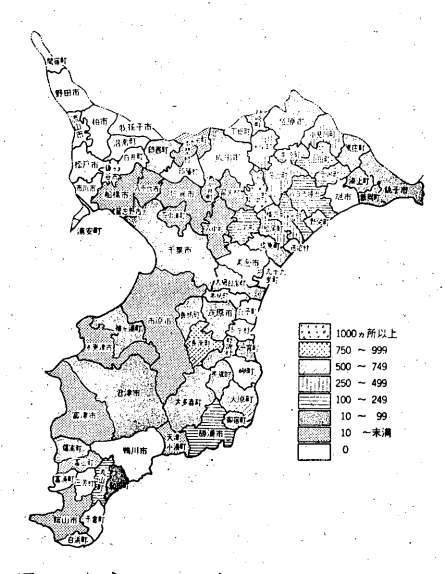


図-2 月券浦,多左の19 71年9月7~8日早朝 の10分詢研覧の時間 もは

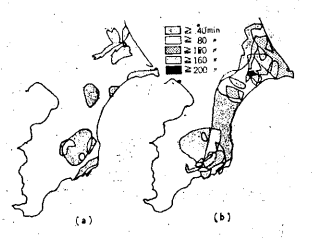


回一! 崩壕冠生数。市町村分布 (1971年9月7~8日)

9月7日 9月8日(1971年) 21^時22 23 00 01 02 03 04 05 勝浦 - - - - 54229 - - - - - -多古 1 - 2 - 123611201685 - 1 - -表-1 勝浦,3古の時制制前滚笼缸(横虫尖等報話:1) 程度の等3次の態まによって崩壊が発生しているし、多ちにおける急増 も第3次を中心として発生している。

以上のような対応関係から10分間両量≥10mm,≥5mmを基準設定して、それらの降所強度にならされる時間数をおめ、発生数との対応を開べて見れ、その結果≥5mmの場合がよい対応を示すことがありった。10分間両量≥5mmの集中度分布固を図-3に示す。図-1,-3を対比して見ていたがされた。スケールの電いで見載いか良い対応を示す。

降风張度計による観測ではさらに明瞭になるか、10分間的境の競配によるにストグラフからいも、降风强度に1~3時間の問期度動が視れれることはどの単中悪网の場合いも経験することであるかであり間変動の第27度以降の山で崩壊の多発が認められる。 3. 雨水の配分と崩壊



旬-3,1971年9月6~8日,10分旬降雨 强度至5mmの時間的集中定の 地域分布。Q,6118時~7日0.9時、 b)7日18時~8日09時

等者の研究室では当会分享走を中から運輸湖の1支流ハビロびで3年間、降雨流出の配分が樹林地界と伐陸地とでどのような相違を示すか、面造かよび降雨強度によって如何のその16月か異なるかを観測して果た。その結果の一部は当会分享たか気象研究所のPapers in Mit. & Geophys に軽文で発表している。その成果の上に立って、雨水の配分から見た崩壊と降雨との関係を述べる。

崩豫発生地は山地村、山地でなくとも多健斜地である。新市内の人工塊壁は割として、これらの傾斜地は林地、伐谷地、草地のいずれれてある。そこでまず、林地と伐谷地との雨水の配分について換する。 伐谷地には雑草が重く生えるから、草地との芝はほとんどないと考える。 林地と伐谷地との雨水配分の遺いは、樹林による樹冠野渦があること、樹冠による貯る限界以上の降町があった場合には 村冠上に降、た同はでしずくとな、て落下するばかりでなく、樹幹を伝わって流下する。樹林の間障からの雨滴の落下による直路降雨もある。樹幹を流下する樹野流電は樹梗、樹皮によって異なるが、雨電かよび降雨を登れよ、て異なり、谷風の雨(雨電143mm)の場合、ヒノキ(529)林外雨電の1%、アカレヤ(154)4%、カラマワ(11年)25%となった。これを平均すると4%となる。

林内岡竜は降岡張慶か増すと催かい増大するか、その増えば 直線的である。樹野野田による距止率の後、て同電かよび降 阿張度によって象化する。その場合、阻止率が成る分がけ樹 幹低量とでしずく、い増えするか、新幹低量の増大かよさい。

次に地下浸透量であるか、同してに実線は林内浸透水電 斜線は代採地の浸透水量を名地層をの流量でました。浸透水 電の深さたよる減かは代接地の方が山まくなっている。これ は林内では落葉などのまだ上遠化していないりよ一層に残崩 する网水が相当あるか、代採地ではこのりター層が足除し、 さらい雨滴のを撃を急けるためい浸透水量か多くなるりのと ちえらんる。 林内では阿水の30%が地下10m層に、4% か30m層に選しているのた話して、代接地はそんでん29 %、13%となっている。

以上の結果をまとめたのか均-4°ある。 伐 控地では 表面流 出り 多いし、地下设造 ルラ くないという。 一方では 洪水流丸の 危険 も 多いし、地下设造 (二) 土壌水分の 条便 い地間 かの 低下→崩壊という 危険を 惣大するといえる。

さらに、樹幹流覚は雨堂の増大ととめに増大するが、樹幹流覚は樹野の面後分だけの雨堂のよるが加楼野に集中するので、激しい意雨の、しかり等2次、第3段ではその流道は馬油にならない。そして、その大部分は根を伝わって地下へと、浸透の逆筋かついてかり、根茎を伝わって浸透する雨水による土壌水分の増大は、地路を体というよりは逆筋を通り不透

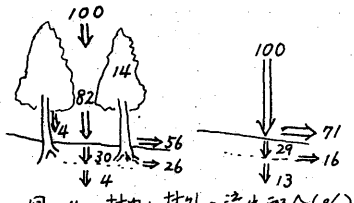
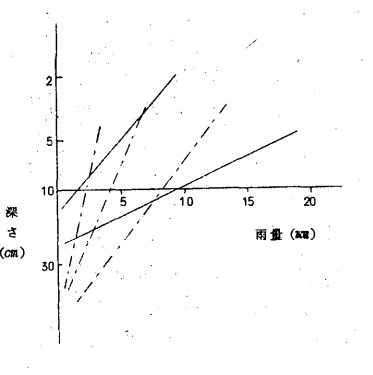


図-4 林内と林外の流出配分(%)



回-5. 林内(宝線)と放弃地(鎖線)との地下30cmまでの地下浸透水差の分布

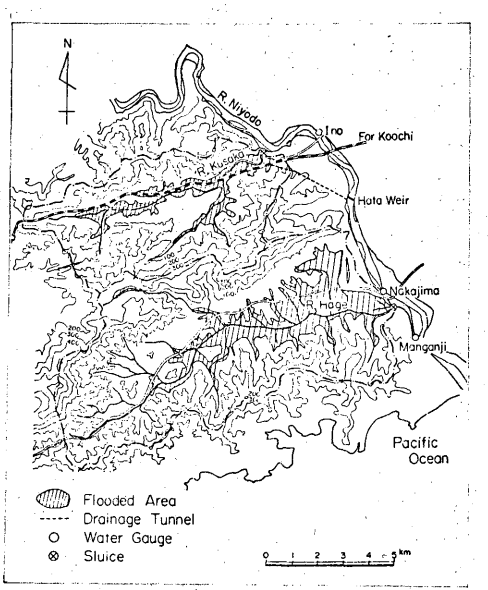
水原へと流下する過程で不均等になるものと考えられる。 林地を持つ 急煙針面はる山故、草地や伐接地とは異なるものと考えるれる。 また、破砕響も地原の不整合面でよく筋像が発生するから、適ちな時所改度によって形成とれた流水が固定と連続に流圧が収率れる、で流圧が地行送くがないが崩壊と扱くのはなったみから、

7505台風による日下川波介川の水割

畜屋 睦·永井明博(京大防災研)

1. <u>まえがき</u> 仁淀川下流部后岩側に存在する日下 川波介川流域は内水災 B常襲地 でといめれているが、ワ ちのち台風に伴う豪雨によって大災 Bを被った。ここで はこの災害の 発生過程と 向題点について考察する。

2. 流域の概况 日下川は仁淀川河ロより14名m 地点で仁淀川に合流する流域面積 36名㎡の友川である。合流点より上流0.5名m地点に神田植門,1名m地点に放水路への分流口がある。主河道長は約10名m、河床は平均1/1500の級勾配,川幅は下流部5名m区向で40~20m,川治いの幅300~600mの狭い沖積地は主に水田として利用されその高位部に國鉄・風道が走り、集帯が開けているが、すぐ急勾配の山地に連なるため、居住範囲はきりめて限られている。とくに3~7台mの区向に開ける案落中心部の標高は相対的にかなり低い(19~20m,四2、38%)。



調查地域と氾濫概定

周削された(昭36)が、その能力は 20~24 m2aである。一方波介川は仁淀川河ロより4.6 尼州地点に小野種円がありそれより2.5 尼州の夢流建を経て仁淀川に合流する流域面積68 元州の夏川である。小野樋門より上流の主河道長は15元ル、川鴨は50~40m、河道は平均1/2500の緩勾配河川となっている。主河道沿いに刷けた幅5~1元川の沖積池は宝に水田として利用され、高位部に無落が形成了山で113。下流部左岸上位置する土佐市の市街地標高は8~10 m碳度である。

国河川の流域界近像に中央構造線が走り地質条件は以下しま さくない。概して日下川流域は百生層、股介川流域は中生層と いりかけるいる。

3、豪雨の概況 7505台風はこの地域に記録的な表面をもたらしにが、100mm/和級の発雨の中心を(非公認を含めて)記録の上でみると、8月17日12~18時の6時間の間に、化造川の中流域一中上流域一中下流域一下流域へとあるいは面から東へと移動したよってある。等雨量線四を画いて流域平均雨量を求めてみると次のようになった。

日下川流域

波介川 流戏

13~16時; Z18 mm

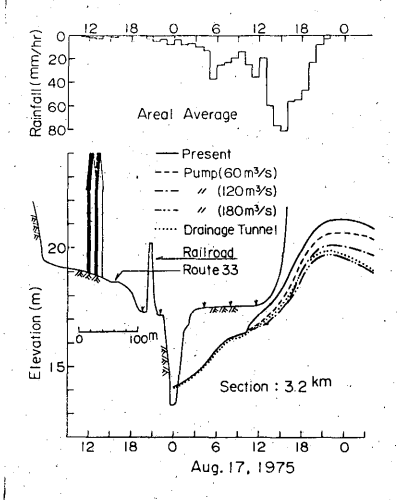
14~17時: 186 mm 11~19时: 357 mm

13~19時: 376 mm 統 函量: 676 mm/35 fr

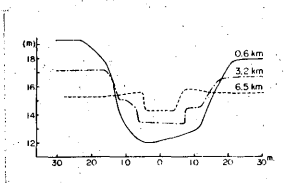
能雨量: 552 mm/36 和

図4に終雨量分布を示す。非公認記録を含めているので、一般にいめ 小といるものとはまず異なり、流域平均雨量もまり大きい。

4.水島の発生状況 この裏面により各地に大災害を発生し、とく に日下川流或では山崩れ土石流と氾濫水の狹撃に会い激悲であった。



回2 日下川の断面と沢温本位



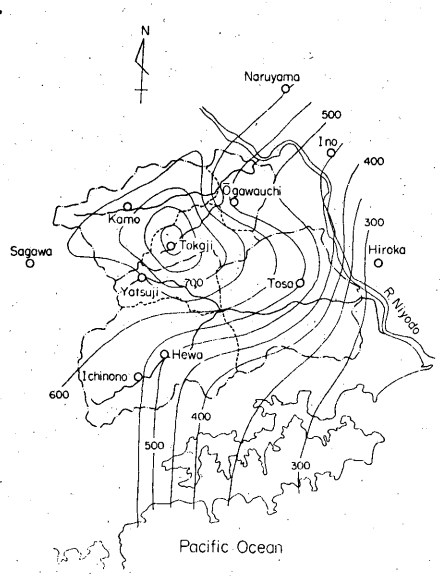
回3 FFIIの断面

流域面積 (Km²) 犯滥.(Km² 浸水户数(户) 表一 流域 全流域 山 地 平 地 面積 標 水 深 時 间 r 被害状况 538 52 269 36.0 6.6 5.4 3.7 68.3 15.5 35 1915 1439 52.8 9.0 波介川

県の調査による両流域における被害概况も表1に示す。 水害発生過程を再現するため、まず日下川において痕 跡もほぼ満足できるまで出水貯水池解析を繰返して捐失 雨量曲線を推定し、最終的にはfinematic-dynamic waveモデルによって出水氾濫解析を行った。解析に採 用した降雨波形用プロックは両流域とも3プロック、流 域モデルは日下川16 波介川14プロックである。

図5は日下川 母樋内の外水位及び計算水位ハイドロ プラフも示す。樋門操作は順調で、氾濫最高水位は18 日 0 時前後 21.21加と、痕跡標高 20.93 へ 20.40 mも 1313説明している、 なら図2に集落中心付近の氾淄過程 のほかに、排水ポンプがあったとき及び放水路断面を4 倍としたときの計算結果も併成してあるが、正面この結 果は日下川流域の対策のむづみしさもも示唆している。

四百口波介川外野樋川口り下流满願寺水位及び計算内 水位ハイトログラフも示す. 浸水停電などのため樋门環 作に手闻取り閉用も完全でないなどの障害の影響も若干 わるが、 闹扉時刻 18日1時15分頃に内水じーク 8. 54m(非公式観測値88m 河道沿い痕跡値852 へ8.69m)と算定されている。なお同図には樋口



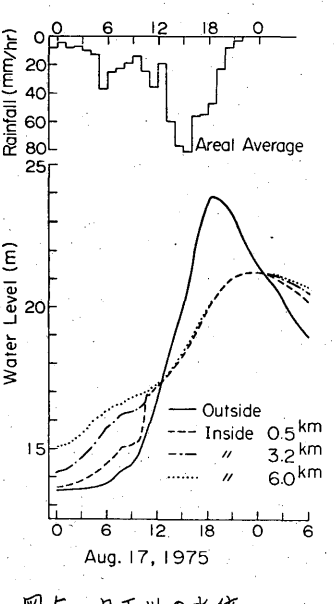
然雨量の分布(8月16~17日)

改修、ポンプ設置、等流堤延長を想定し たときの内水位も併示してある。

5. 考察 1) 今次災害素因似紀錄的 な裏雨にあることはいうまでもないが、 情间的地域的分布ないし独用节の粉動速型 40 度が下流内水地帯にとって最寒状態にあり60-り、排水硬円により自己流域の出水の大量80-都分を抱き込まざるを得なかったことは きわめて不幸であった。

2) 函流域とも排水施設が弱体すかた。 日下川では樋内の他に放水路があるが、 その能かは2~~んと程度に過ぎない。もる20 っとも10倍の能力があったとしても被し 害も免れ得なかったであろうが、また。 波介川では極内だけしかなく、不測の標率 作権害を伴ったのも不幸であった。

3) 両川とも抜本的な対策はむずかし い、生活の便と水串ポテンシアルとのト レードオフ、人间の欲望と自然の智蔵と の投点をどこに求めるべきかは今後の機 妙な問題である。





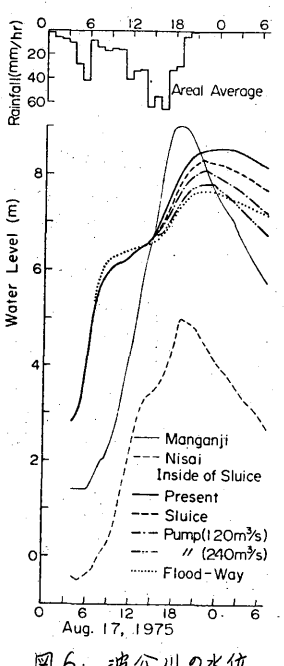
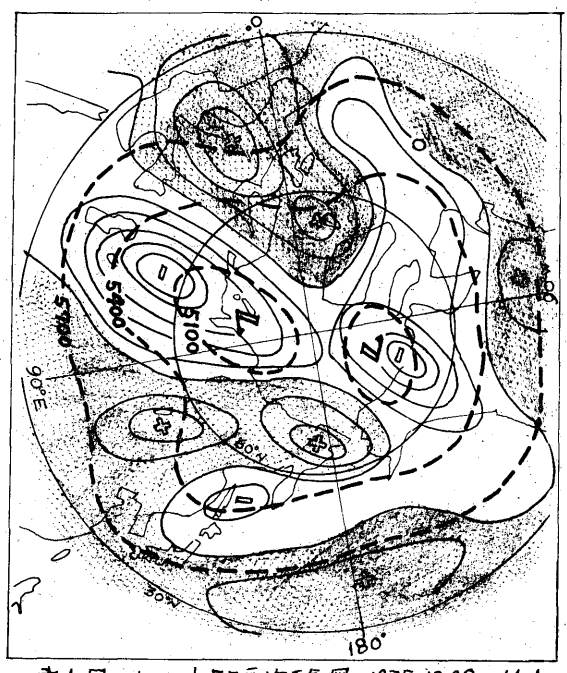


図6. 波介川の水位

災害調查に際し, 建設省高知工事事務所, 高知県河川課, 伊野土木事務所, 土佐市 H髙村のみくのすぐに、賞料の提供その他鋤後助を頂いたことを記し翻意を表する・調査研究の一 初に文部省科学研究費(以教者矢野勝正)の援助を受けた事を付記する。

現象の規模を考慮した天気図解析例について

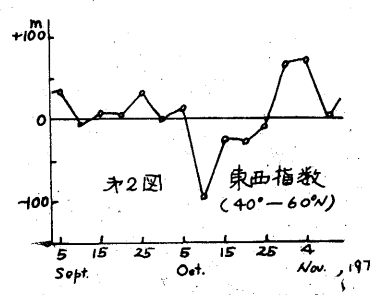


才1回 500mb 5日平均天気図 1975-10.28~11.1

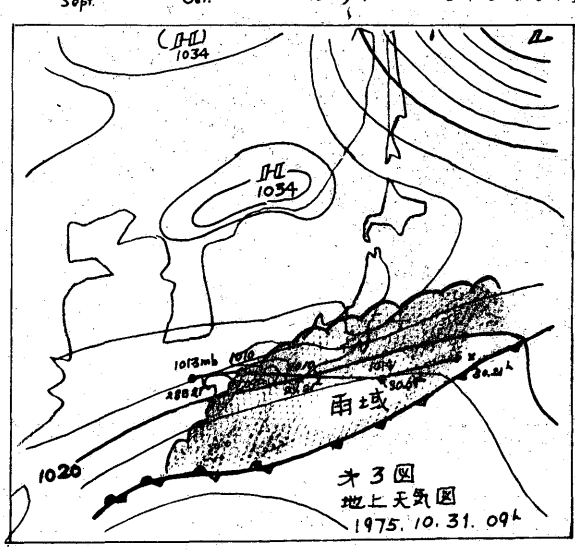
松岡 隆 (奈良地方気象台)

スケールの理論が気象学に導入され、高速度計算器の発達と相まって、數值予報が開花したことは良く知られた事実である。予報校時の面では、(1) 気象現象をスケール別に整理して考える。(2) 長波スケールでは理論的に裏付けのある予報技術が確立された:という臭で意義があり予報技術全般的にプラスの方向に作用している。以下はとり立てて新しい知見ではないが、地方気象管署の予報者が日常どのように整理して解析しているので、時批判を仰ぎていと願っている。例は 1975、10,30度~3月日中にかけ近畿地方を南下(た強い雨についてである。2 超長波の解析

オ1四の5日平均天気 四(19%:10.28~11) によると極うずは東西両半球に分裂(て二次数 循環が目立ち、主うずのある東半球ではブロッ キングを含む蛇行現象が題者である。これは この年の10月を通じての特徴であり東西指 数(オ2四)でも低指数が明瞭である(東半

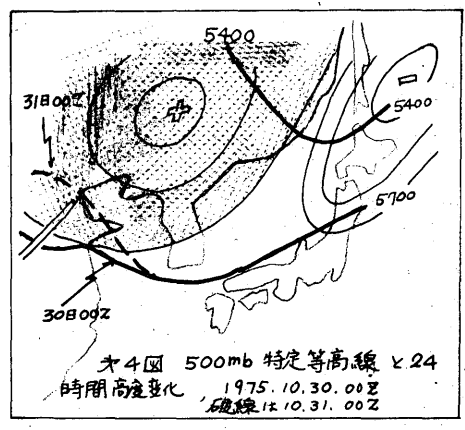


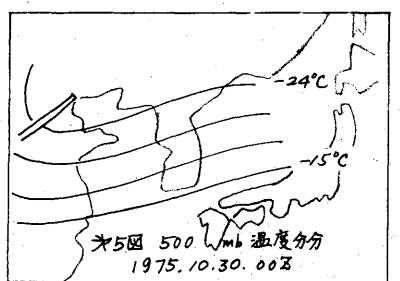
球の東西指数編差は-30mで記録的低指数、図書製).極東では日本南岸を東西に走る5700g.p.m.のコンターと並行して編差のゼロ線が走っており(その北側は豊編差、南側は正編差)このことは傾圧帶が発化されていることを表わしている。 気圧の谷は日本のやや西にあり(西谷)、東シベリアとバイカル湖の著(正編差を伴そう)と併せ手属するとブロッキング傾向があり、西谷の持統 → ぐずついた天候を示唆している。実際西日本ではこの半旬は北高型が目立ち 28日やから31日まで雨が降、た。



3 長波の解析 28日21時几t

28日21時九州西方海上に発生した低 気圧から東にののる温暖前線/cよって西日 本では雨が降り始めた。低気圧が南東進 しこれに伴って寒冷前線が29日南下し たが、30~31日 も前線が南岸にてい たい ((北高型)強い雨が近畿地方に降 った(才3四). 30日 09時の 500mb 天気 四によると(オ4四)、上海の西に弱い気 圧の合があり、その後面では温度場の谷 が顕著である(ヤ5四): ともに東進して 113. 正の高度変化が中国東北区にあっ て東進しているが この南方は夏城とな ってあり、これらを考え会わせると、此 高型であって、南条では西谷が持続す3 ことを示唆している。実際31日09時 の谷は九州西方にある。(オ4四の破線)





したが、て西日本は対流圏下層の暖気移流と中層のうす度移流により低気圧性発達の場となる。

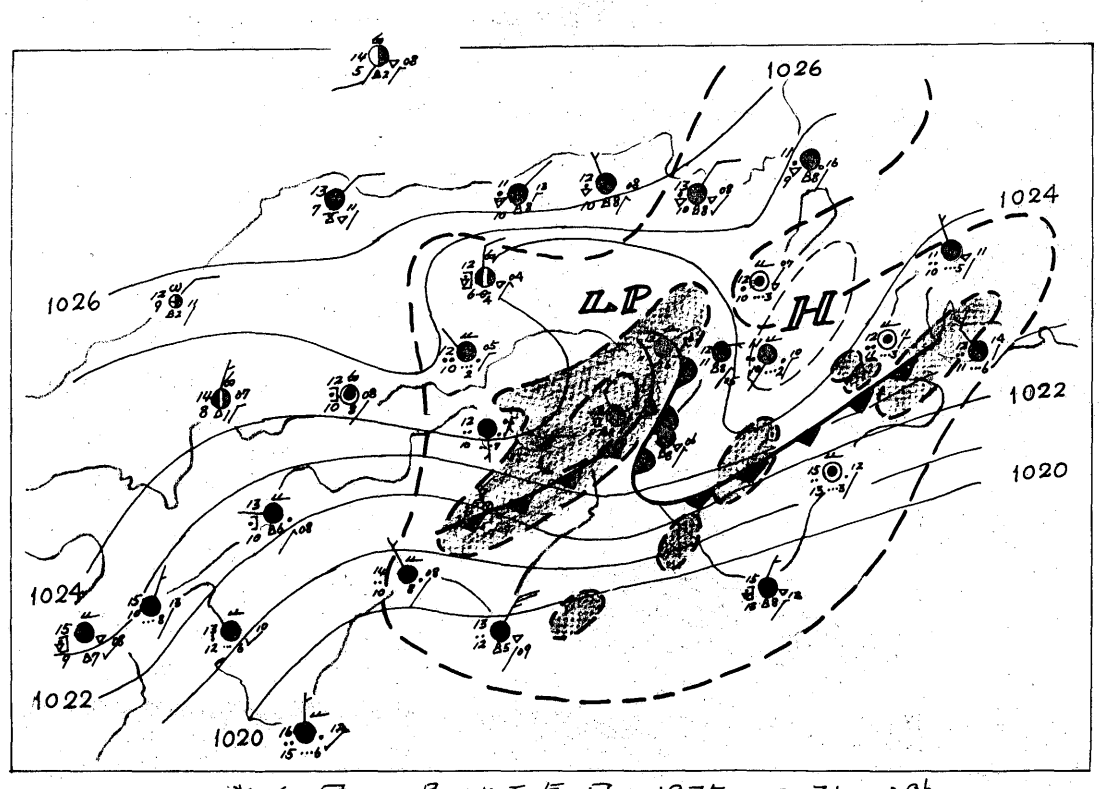
4. 中規模じょう乱の解析。

大阪レーダーによると30日午後近畿北部に上空エコーが現われ強度と雨域を増しながら、30日使から31日日中にかけて近畿地方を南下した。このエコーは大きい意味ではシノアネック・スケールの南岸前線と関係があろうが、直接には何に対応するものかよくわからなか、たので局地天気図を解析した。才6図は1975、10.31、9時の局地天気図である。李良の北にメソ高気圧が、岡山付近に高圧都があり、これらの前面では気圧と露臭温度の傾度が強く、寒冷前線を描いた。一方低圧部は神戸付近にある。NE―SWに伸ぶる弱むよの強のエコーが二本あり、それぞれメソ

高気圧および高圧都の前面に存在している。

5. あとがき

毎日の天気予報で一ということは長波規模で一 このような例は天気予報のむつかしいものの一つである。超長波の拳動が短期予報にいくらかは参考になることとを主られる。 (かしこの例で最も卓越したのはメゾ・スケールの現象であった。



才 6 図 局 地 天 気 図 1975 · 10.31. 09h

100m循環場よりみた西日本の暑夏・冷夏の特性

(大阪管区気象台) 堀竹昌治

1. はしがき

一 暖候期の天候を支配する循環場は中緯度高気圧の動静により決まるが、それと同時に極低気圧の位置や強弱、南下にも関連している。西日本の暑冷夏については全国的規模と北冷西暑、北暑西冷はどのように西日本と北日本で違う場合がある。以上を考慮して、ここでは主として北半球/00mb平均天気図上での高度場と同偏差場を解析し、前駆現象を調べた。

2. 地上気温偏差場による暑冷夏型の分類

- 暑冷夏年としては中国此方(広島と境で代表)の8月平均気温が26.8℃以上(暑)と26.3℃ 以下(冷)とし、そのなかで△丁≦1℃の顕着な年には一を付した(ヤー表)。

3 各型の循環場の特性

前述の4つの型について、100mb面でのチベット高気圧の動態を示す指標として16,800gpmで囲まれた領域、中緯度圏に沿った長さ(東西幅)とその等高度線の東端の位置、130℃に沿う2点の偏差等を調べ、それらの特性を対2表に示した。

		1973年1967,1960,1951
夏	北冷西暑	1966 1964 1961 1970 1969 1962 1954 1953
冬	全国的冷夏	<u>1968, 1958, 1956, 1963, 1955,</u>
复	北暑西冷	1972

十1表 暑·冷夏年の分類

この表から西日本の暑夏についてはチベット高気圧の動向に関連した立場でみる限り、全国的暑夏と北冷西暑に違いは認め難い。冷夏については北暑西冷型が1年しかないので両君の比較ができない。単に西日本が暑夏か冷夏かという立場でみると、次の特徴が何われる。すなわち、

72長 100mb·500mb天気四からみた暑冷夏の特性

		チベット高気圧	チベット高気圧	100 mb函度	100mb高度	500mb太平	500mb太平洋高
	年	16800gPmo東端帽	1680000mの東西語	40°N130°E 偏差	30N 130℃ 偏差	洋島5900 の指無	5900 gpmo/恒置
1	1973	35 . 125	9 5	+22	-23	挕	30°N: 75E
切	1967	30 , 110	30°460EL30°110°E	+11	+12	無	
全国的看是	1960	40 , 145	105	+81	+62	揊	30°NE 7787°E
量	1951	•••					
北	1966	40 . 135	95	+71	+12	垣	30°N170°E0*
1	1964	40, 110	60	+1	-18	無	
冷	1961	30 , 130	100	+61	+52	拒	30°N 50752
西暑	1970	30 , 110	65	±o	±0	盾	30°N158°E 03
着	1969	30 - 100	50	-49	-18	頂	30% 30 ~150E
全	1968	40,60 nm	左に回じ	-39	-18	痦	30°N 50 270°E
馬	1958	ナシ	ナシ(1677099れ)	-109	-58	刀	30%170E 03
全国的冷草	1956	ナシ	ナシ(167609111)	- 39	-38	無	
	1963	30,9 5	55	-19	-28	無	
北岛沙	1972	ナシ	ナシ(16730gpm)	-49	-48	泪	30°N = 2770°E
						-	

- (1) 暑夏の場合はチベット高気 圧が優勢で16,800gmmの 等高度線の東西幅は経度で5 0度以上あり、東端位置が1 10℃以東にある。
- (3) 西日本付近の高度偏差場では暑夏には十、一いずれのときもあるが、冷夏年はすべて一となり、40°N、30°N格子点でも負偏差値となっている。

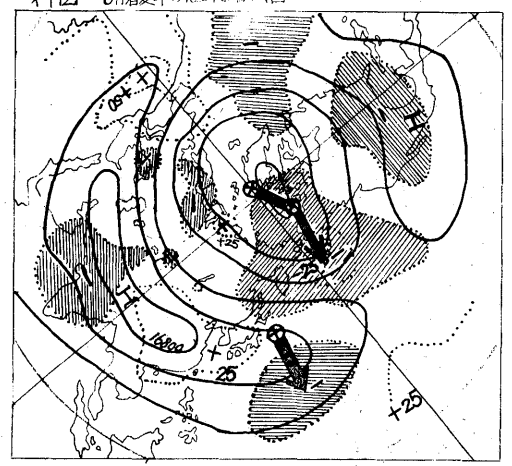
参考までに、500mb面では暑夏年はだいたい西日本の高度偏差場は十で、しかも高気圧を 形成する5900gpmの等高度線は冷夏年より西偏し西日本に近く、冷夏年は西日本付近の高 度偏差場すべて一で、5900gpmで囲まれた等高度線領域も東偏し、日本列島からやや遠い。 上近のように、暑冷夏を対比した場合にはチベット高気圧や太平洋高気圧の西日本への影響の程 度や振舞いに違いがある。

4 暑夏・冷夏の8月合成図(高度、同偏差図)の特徴

成層圏については偏東ジェット気流(10mb面)が強ければ暑夏になり、弱ければ冷夏となるという結論も得られている。

500mbからはすでに検討されているので、そこでは暑夏平(5ヵ年)と冷夏年(4ヵ年)について、それぞれ8月平均高度、同偏差の合成図を作成し、ヤー図とオ2回に示した。ヤー図の100mb合成図から暑夏には①チベット高気圧が強く(16,800gmm 領域広い)、②楕円極夜渦の長軸が極付近から太平洋にのび、③中国大陸東部から日本付近が正偏差、④負域中心(-25gmm)

★1四 8月暑夏年の100mb/か成四





がベーリング海付近、⑤タイミール半島付近は正偏差域(+25gmm)となり、冷夏には①チベット高気圧弱く(16800gmmの領域はみられない)、②極夜渦が極東方向に伸び、③中国大陸から日本付近が負偏差となり、④正偏差中心(+50gmm)がアラスカにある。

以上のように100mb合成図によると西日本での暑夏、冷夏のパターンが明瞭に異なり、チベット高気圧の動向(中心の強さ、領域の広さ)と極液渦に関連した負傷差中心の位置が両右の間でかなり明らかは相違がある。

5. 合成 図循環場での推移特性

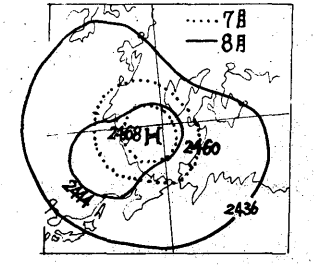
ここでは100mb面で現りれた特徴である頁(正)域中心の移動状況から暑冷夏年パターンにな

るまでの経緯を寿察する。

暑夏年合成図をみると(オー、2図参照)、負域中心は6月には北極上と東日本から三陸沖にかけてあったのが、7月には150℃にそって南下し、アラスカ北方に位置し、8月には大きく南下してペーリング海にある。すけれち6月から8月までの負域中心が図中の矢印のように時計廻りに南下しているのが特徴である。6月のカムチャツカ付近の正域がしだいに弱まり、8月には負域に変っている。 *3図 暑野(466年)30 咖啡均図 *74図 冷泉年(1968年)30 咖啡均図 *74図 冷泉年(1968年)30 咖啡

つぎに淡夏年台成図では負域中心が6月にレナ河下流にあり、7月にはバイカル湖北市に進み、8月にはさらに南東進して中国東北区北部へ、暑夏年と反対に反時計廻りに南下している。また8月にアラスカ付近に出現強化した正域が冷夏年のみに現りれている。

そこで成層圏アリューシャン高気圧の顕着に現われやすい30mb月平均天気図を検討した。資料が少ないため、暑冷夏年の100mb





合成圏ともっともよく似ている年を送んで検討した。暑夏年として1966年、冷夏年として1968年を示した。両囲ともアリューシャン高気圧は明瞭には姿をみせていない。暑夏年は7~8月にかけて極高気圧がタイミール半島に向ってのび、アラスカからは西偏している。しかし冷夏年は7・8月とも極高気圧性循環が顕着に維持され、アラスカ方面の高度下降がなりことが暑夏と異なっているといえそうである。

6. あとがき

6月に極夜渦に関連した夏域中心の位置が土極付近にあるか,レナ河下流付近の東半球側にあるかによって,8月の暑・冷夏予測の指針にはること。また6月か68月に至る偏差場の季節変移の 週程で負成中心の移動が時計廻りと反時計廻りの南下経路をとっていることが興味釈い。

暑夏年の検討 昭和50年度全国長期予報技術検討会の報告

京都地方気象台 富田正夫

気象庁は毎年2月、全国の予報中枢官署から長期予報担当者を集めて検討会を行い、暖候期季節予報を検討するとともに毎年一定のデーマを決めて長期予報技術の向上に努めている。今年2月24日に行われた検討会のテーマは『1973年を中心にした暑夏年の検討』であったが、時間不足から、各官署の調査結果を紹介するにとどまり、深い検討はできなかった。 筆者は当日の討議の進の方に沿って各官署の調査結果を分類し、その概要を紹介することで報告に代えたい。

1. 夏の天候パターン

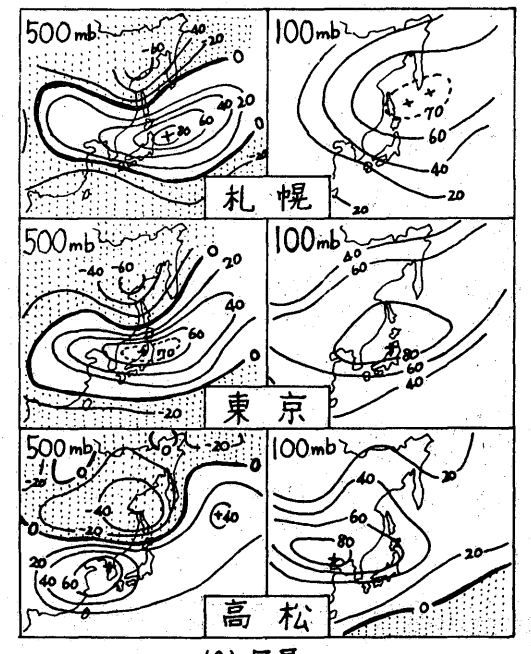
秋国の天候は地域差が大さいことは良く知られているが、島村(高松)は札幌・東京・高松のク、 8月の月平均気温と 500mb × 100mbの高度との相関を調べ、各地域の天候を支配する高気圧パコい て次のように結論づけている。(第1図)

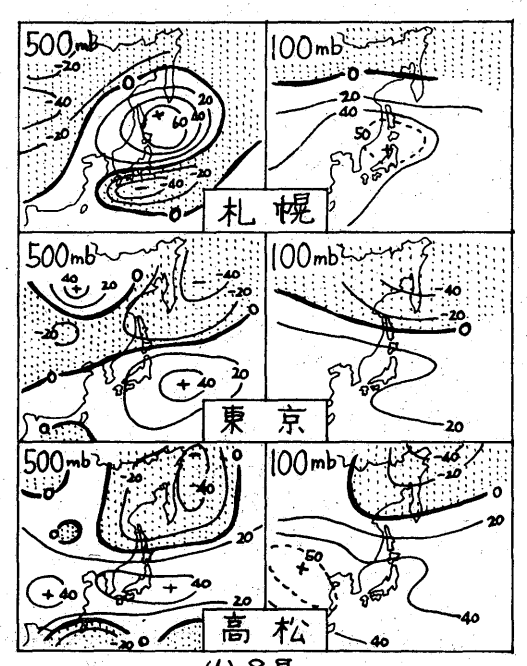
- ・ 西日本は 7月から 8月前半にかけてチベット 高の影響を大きく受け、 8月後半チベット高 後退とともに太平洋高の影響を受ける。
- ・東日本は7月はチベット高の影響を受けるが 8月は太平洋高だけ。
- ・北日本はチベット^あの影響はなく、移動高や北偏した太平洋高の影響を受ける。 さて、天候を地域的に分ける方法はいろいろ

天候	冷夏	暑夏	北冷西暑	北暑西冷
卓越波 40~	lor2. 4	l or 2, 4 6	з, 6	1 or 2. 5 or 6
流れの場	(-)) H	(F)	

第2図, 天候型と流れの場 (本庁 P.39)

あるが、最も簡明なのは北日本と西日本の2つに分ける方法である。夏の王候については平年の外、全国冷夏、全国暑夏、北冷西暑、北暑西冷の4つの天候型が考えられるが、久保木外(本庁)は、

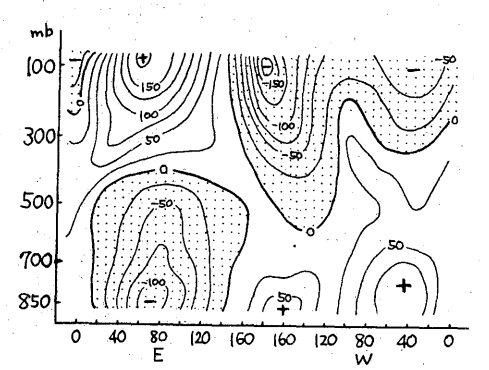




(a) 7月 第1回 各地の気温と500mb, 100mb高度との同時相関(戦:×10⁻²) (高松 P.に~13)

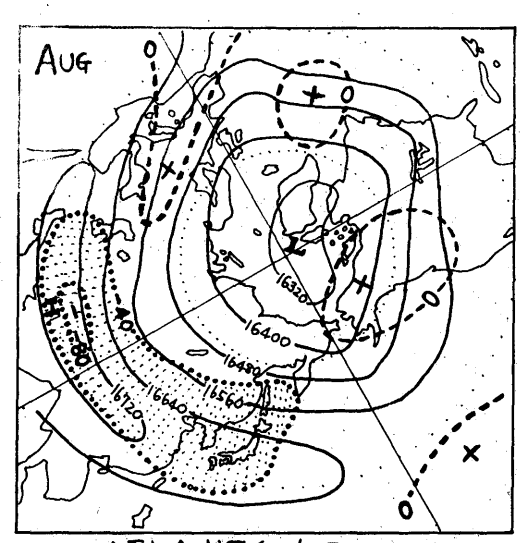
- この4つの天候型と、500mbの循環場の特徴を調べ、次のようにまとめた。(第2四)
- •全国冷夏型 (1982, 53, 56, 57, 58, 63, 68) ……中・高緯度の長波は逆位相で、高緯度は尾根、 日本付近は谷になっている。
- •全国暑夏型(1951、60、67、73)……中・高緯度の長波は日本東方洋上で同位相、尾根といなっている。
- ・北冷西暑型 (1947, 54, 61, 62, 64, 70, 71) … 高緯度は波数3による東谷、中緯度は日本西方で長波の尾根になっている。
- ・ 北暑西冷型 (1946, 49, 50, 72) …… 高緯度は超長波の帯状流、中緯度は長波の谷が日本西方にある (西谷)。

2. チベット高気圧、太平洋高気圧

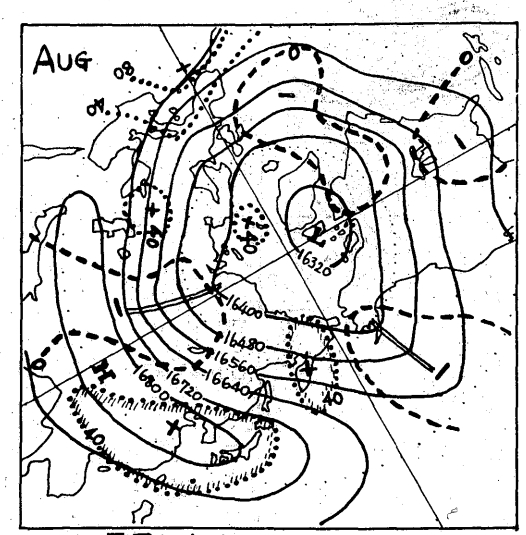


第3四 30°Nに沿う等圧面高度 續度平均 値よりの偏差(7月) (本庁 P. 28)

京台が形成されている。この特徴は相関係数にも表われ、北日本の7月気温は50% 160°E と +0.69、 8月気温 40N 140°Eと +0.54、西日本については7月40N 120°Eと +0.85、8月40N 110°Eと +0.66 (60N 150°Wと-0.66)となっている。一方、能登外(本庁)は日本海側地域の気温と100mb高度との関係を、料関比を使って調べ、ス~3地点の高度偏差から暑、冷夏を判別する式を作っている。

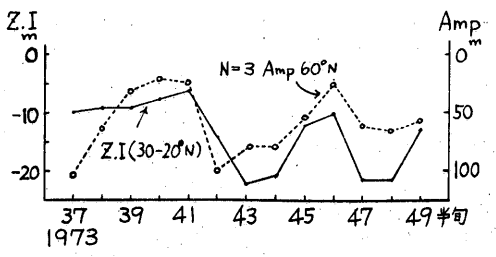


(a) 冷雪年合成図(1956,57,58,63,65,68,71)

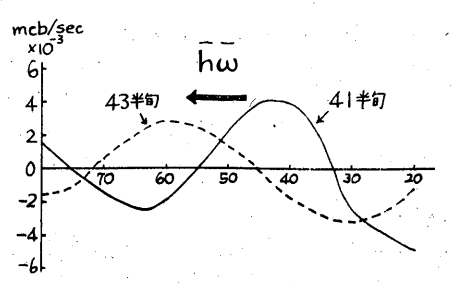


(4) 星夏年合成团 (1960, 61, 67)

第4回、冷夏年、暑夏年0100mb高度及び偏差合成图 (本戶 P.41)



第5図. 偏東風指数と60°Nにおける 波数30振巾 (本庁 P.5)



第6図. hw a緯度分布からみた 鉛直循環の北上 (本庁 P.8)

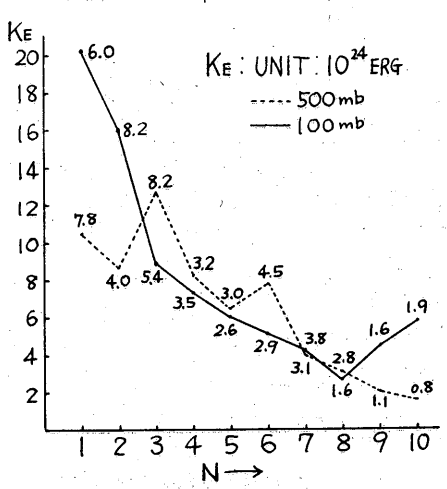
西日本暑夏年は例外なくチベット高が強く、各官署とも強調しているが、松村(大阪)や山中傷岡)は2つの型があると言っている。山中は100mbで高緯度の波数3の谷がかを付近にあって、チベット高の軸が沿海州からオホーツフへまくれ上3型(59,60,61)と、高緯度2波数で谷がカムチャッカ付近にあり、中国へ日本はチベット高が渡り出して尾根となる型(64,66,67.73)と分けている。

3. 物理量a解析

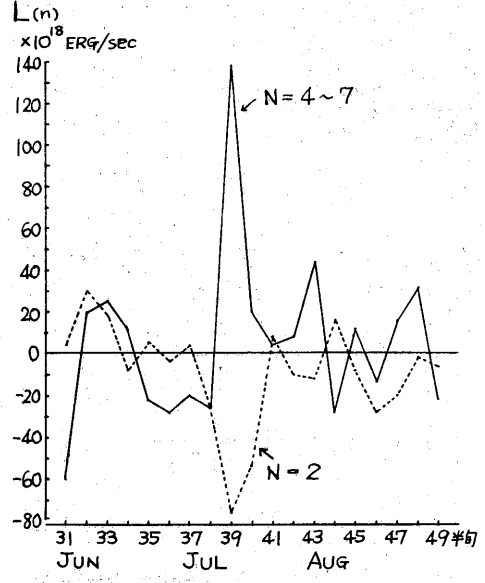
朝倉(本庁)は1973年7~8月の亜熱帯高と偏西風じょう乱との相互関連について調べ、偏東風が強まったとき(亜熱帯高の発達・北上)、偏面風帯では起長波の波数3が発達することから(第5回)、両者の結びつきでは波数3が重要を役割を果していると述べ、また、 亜熱帯高と鉛直循環との関係を n ω (h: 1000-500層厚、 ω: 鉛直流) の緯度分布を使って調べ、 亜熱帯高の北上は、鉛直循環の北上と同時に起ることから、 中緯度南部までハドレー 循環領域に入ることを明らかにした。

一方、杉本(本庁)は、1973年6~8月の夏期平均のじょう乱によるエネルギーKEの波数分布を調べ、500mbではKEの値もその標準偏差も波数3が大きいが、100mbでは波数1,2が大きく、その標準偏差は波数2が最大であることから、100mbにおける波数2の重要性を指摘している。特に

タベット高の最盛期であった38~40半旬では、波数2のKEが最大であり、KE→Kzの転換も波数2が大きな役割を果している。また第8回に示すように、波数間のエネルギーの相互作用も、この期間



第7図, 1973年6~8月平均の波数別 KF分布と標準偏差 (本庁 P.31)



第8図. 1973年6~8月のN=2とN=4~ 7のKEの転換量

は波教2が滅す、波数4~7が増加しており、起長波→長波のエネルギーが転換されたことを示し、 従って、AE→KE(N=2)→KE(N=4~7)の過程で亜熱帯島が発達したのではないかと論じている。

そのほか、田平(歴史島)は500mb面顕熱輸送量から冷却城と下層の亜熱帯高の対応がよいことを示し、山鹿(福岡)は顕熱輸送量から子午面循環モデルを考え、1973年7月は直接循環、8月は間接循環ド支配されていたと論じ、西尾外(新潟)は運動量の南北輸送から高温のピークを論じている。

4. 暑夏0予想法

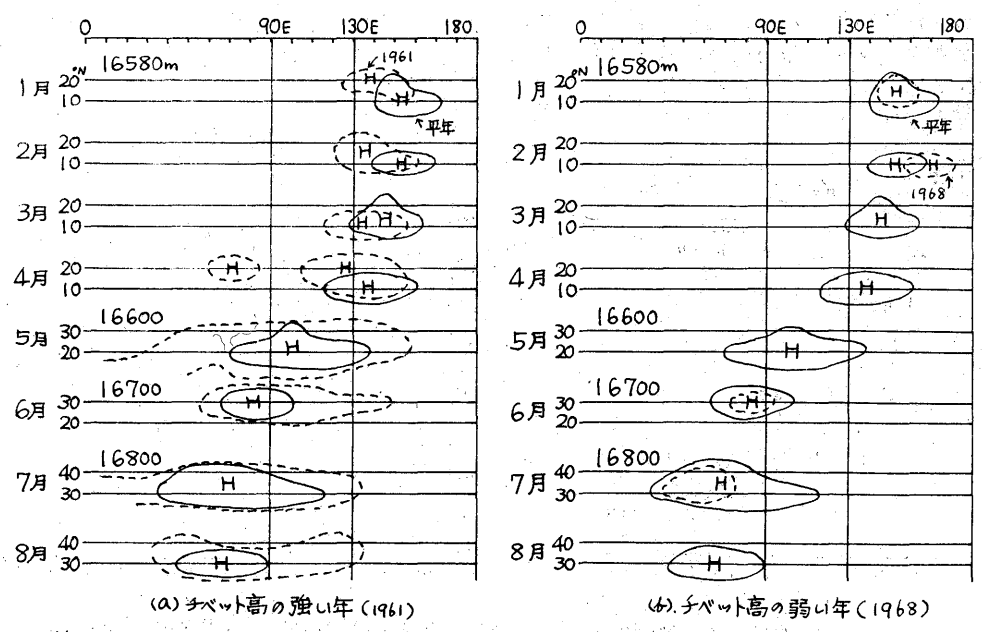
中尾(展児島)は1993年8月の高温少雨を500mb高度のラグ相関から予想可能であったと述べているのに対し、佐久間(新潟)は過去の8月気温予想について、3か月予報の推移の中で安全していたのは高温11例中3例、低温6例中3例にすぎず、相関を再計算する必要があると述べている。

矢花り(札幌)は北海道の暑・冷夏と極東城500m半旬線度平均高度と、北原(名古屋)は名古屋の8月降水量と特定経度線の高度の⊕セルヤ⊖セルの南北変動から予想を試みないる。また佐久間(新潟)は8月高温年は5~6月に大陸から日本の東海上にかけて中線度高気圧が現れ易く、低温年は7月にシベリヤの広い範囲に尾根が現れること、さらに6月の尺1(0~80℃)の高緯度が尾根なら低温、谷をら高温になると述べている。

堀竹(広島) は b月から 8月にかけて、100 mb極応うずに関連した⊖セルの南下経路が、時計まわりは暑夏に、反時計まわりは冷夏になると述べ、山中(福岡) は100 mb 低緯度の特定高度で囲まれた高気圧セルを追跡し、チベット高気圧が強い年は、冬から春にかけてすざに低緯度高気圧が強くなっていると論じている。(第9回)

全言署の資料を集めるとぼう大な量になり、筆着の理解の程度を越えるものも多いが、引用させてもらったのは、同じような資料のうち、わかり易いものを選んだ。中には一致しない内容もあるようだが、今後の検討に待ちたい。なお、台風や雷については省略した。また、堀竹氏の論文は前項にあるので、ここではほとんどふれなかった。(以上)

·文献·昭和50年度全国長期予報技術検討会資料(氨裹片予報部及以各予報中超官署)



第9回 100mb特定高度のセルの移動 (福岡 P.34)

中島暢太郎 (京大防災研)

1. 緒言

ヒマラヤ山脈は西北西から南南東に延びてあり、西部は日本の東北地方と匹敵する高緯度にまで達し、東部は日本の南西諸島と同様度に及る。したがって東部はベンが北湾からのモンスーン気流の影響を受けせるく、西部はモンスーンの影響が少なく、アラビア海の他気圧の影響を受けるとともに、日本などとななじく中傷度倫西国中の証動の影響を受けせずい、さらに8000m和の山々を連れるこの山脈にあれる場でして北側の乾燥状帯と南側の湿潤吹帯を分離する役割を果している。よく知られているように、ヒマラヤ山脈となる北側のイベット厚度で含みた大山砲は大気大作家に対しても障碍的でして、また熱源として大きな役割を果してあり、さらによっけ近は北水大陸で南がインド海と南北のコントラストも大きなところに及れている。この大きな山境の影響を論ずるのにピマラヤ地吸自体の観測を手利用するのには問題といる。、大水はこの状成の気遣と降水量が山岳吹きの石地の支持性で室間のにも時間的にも変動が大きいからでなる。章、筆巻らはこの状で流に、気象を料を手に入れて、立内になるので、長前に小さ、スケールの理場について流に次介に大規模な流気で考えて行くことにする。

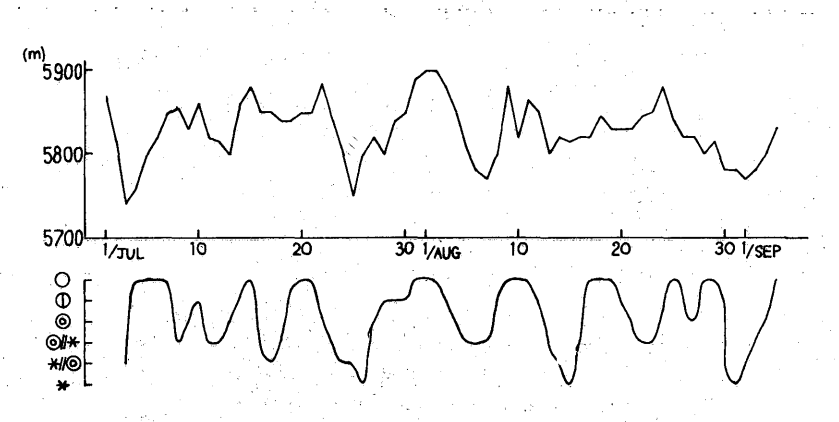
2. ヒマラヤ付近の毎日の天気の変化について.

カれわれる以集した運動に基、マヒマラヤは近の各日の天気も500 mb天気図の関係について述べる。

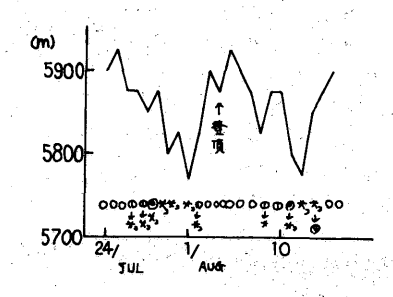
2.1. カラコラ4地域、

カラコラム地域はネパール地域にくらべて真真度にあり、またモンスーンの影響を受けることが

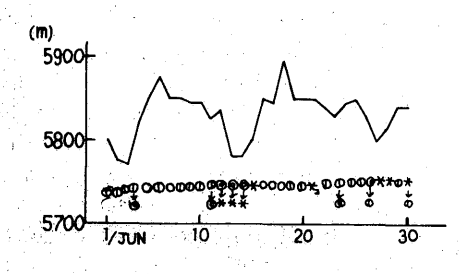
すくない。オ1図 は197多年夏に 京都大公山岳印水 177774 0 K12 峯に登頂した時の スカルドゕッペー スキャンプに至る **比成了,每日**页天 负。觀測結果 5 6 段階表示したもの を下段に示し、上 段のその付近のち 00 mb 面為度の 重化図と対比させ たものである。か なり上、相関を示 していることがわ れる たむり月ろ 日。每任。谷二村 **なして乾燥や咳で** エスパキスタン平 野却でも珍らしい 大雷雨が立り、浅 水の被害が生じた 72团出1963 年の東大山生計の



オ1図 75℃,30°No500mb面惠度の変化とカラコラ4 K12峯付近の天気の変化(1974年)



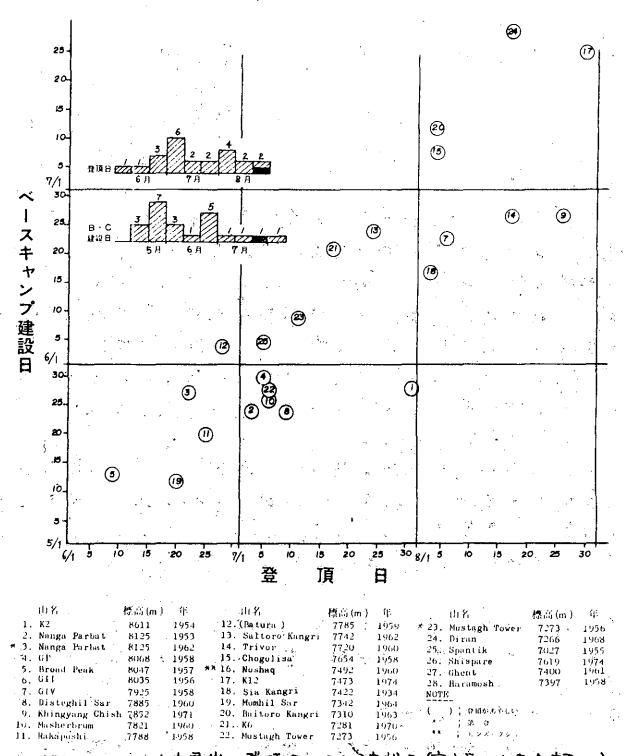
ヤ2回 企上地に500mb面高度の変化と 東大バルトロカンリ(カラコラム)学山版の観測いた気(1963)



オ3回 京大サルトロカンリ (カラコラム)登山成の観制 にた天気 2500mbで高度変化 (1962)

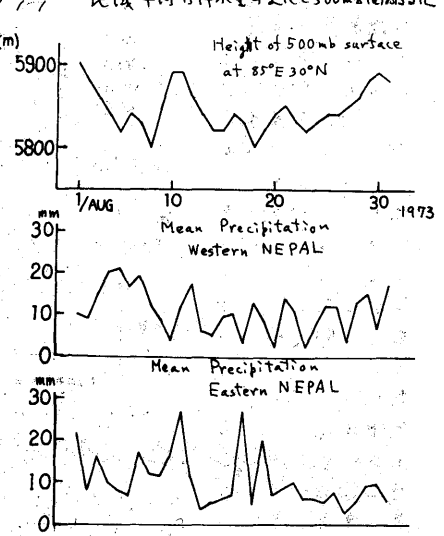
バルトロカンり遠征隊の観測した天気の 变化を付近の500mb面其座の変化と 対比させたものであり、オる図は196 2年の京大学士山岳をサルトロカンりき 征信の及びな資料である。これらのかし 図からオる図に共通していえることは、 カラコラムやろっ天気は夏季でも晴天な 多く、 時 《句 3 惠 天 1 中厚度偏面風帶中 の気圧の谷の通じとよく対なしているこ とである。よく知られているようにネぐ -ルヒマラヤではモンスーン期間中20連 日は雨がなり、登山りモンスーン期の直 前の直後がえらばれるのに対して、カラ コラム比成では更季を通じて登山が可能 である。オチ国は京都大学学士山岳会が 調べたカラュラムの主要拳の登庫日ヒB、 C. 建設日の合作図でおり、上辺のこと モムくホしてぃる. 2.1. ネパールレマラヤ地域

ネパールヒマラヤ地域ではモンスーン 期間中は連旦のように降雨があり、また 1000m~2000mg馬式の平野中 盆比では短時間の烈しい雷雨が立るため カラコラム 牧咳 n ヒ s っ500 m b 天気 カチロカカラコラ4主要警の登頂目とB 建設日(京大庁±4年会調べ)



```
1表
                                                       30 August 19.73
                                                                   ネパール東部の87°E,27°N
1218
                  2223
                                                                   を中16=73150km四方の
1219
                                                                   地域内10地支の日降水童
                                            2 3 2
1302
                                                               1: 0.1 ~ q.9 mm
                                                                              2: 10.0~ 10.9
13 03
                      22
                                                               3 = 11.0 ~ 11.9 mm
                                                                              ete. 沒自: 0.0
               3 3
1305
              2 2
1306
              2
                  1 / 3
1308
                                                               万団 ネパール西部まとい東計の
                                                             地域年时日序小堂《支化》500小面就了化
```

回とのきれい左対底は見出しがたり、如何に地長間の日 降水量の差が大きいAを末す1例をオ1表に示す. これ は1973年8月の木パール東野の直径150 kmの比 成内に立る10代表の日降水量を10mmごとの階級に わけて示したものである。オケ図ロネパール東記の8个 E付近·西部·BIOE付近·台州和州豹IO吠矣·日降。 水量的比成平的位的变化 · 5 0 0 mb 面為度 (85° E) 30°N)を対比させたものである。これらの国は一見、 日降小童と500 からの谷との間に関係かないように思 わせるが、17~18日境の谷に対しては東部の降水量 は大体対象にないないまた、お日境の谷に対してはかり太 でクロに各处ともれるりの降水をか対なしている。 達は 11日の降水量のピークカー引の大雨に支配されている 可能住が強い、ハジュン(4400m)に立るわれれれ o能测比支,宣科人与考之了 · 午两中の天気如500 mb 面を度と比較なよく対応している.



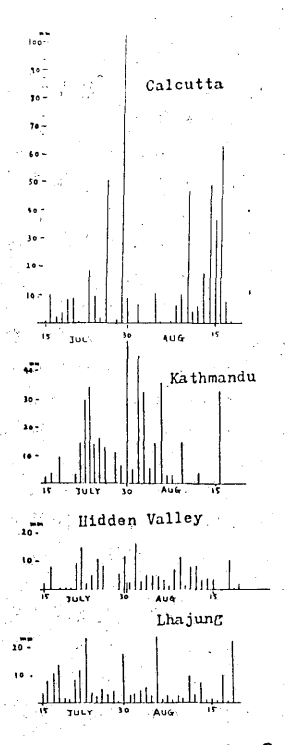
2.3. 中猛度がら所存度に延がる長大トラフについて、

オ6回には少し範囲を43片でネパールの育命カトマンズと西部 の山にかこまれて降雨の少ない5000m以上の萬忧のヒドンバレ 一 あよび上述 のハジ ユンヒさ ちにインド のカルカッタの 1974年 7月15日から8月20日までの日降水量を示した、各比気で降水 童の絶対値が降り方に大きな考りますが、7月12日頃、30日頃 8月5日吃、15日吃のピークは比較的もろっている。これでは大 体チベット右気圧の切れ目に対なしている。 ここでは8月15 日頃 の状況をみるためにオク団に14日へ18日の5日平均平年低差団 も示した。20m~とに等偏急値なが重なれている。比までロベン が北海北部は近に熱帯佐気圧が反うが、オク国で中代度から佐藤度 に近い、長大なトラファイベット店気圧を900日 付近で分断して 1139本見られる.



3、ヒマラヤ周辺の月降水量 の変動につれて、

前節でコピマラヤ付近の天 気が中厚度各西国帯中の冬の 通過時心更《四》低向水业》 ことなるしたが、一方、月本 水量の変化に現れれるような 比較的長同期の変化ではなし 34ベット方気圧が発達する 時にモンスーンが展まるとい オ7回1974年8月14~18日5日平13500小平年低速回かれている



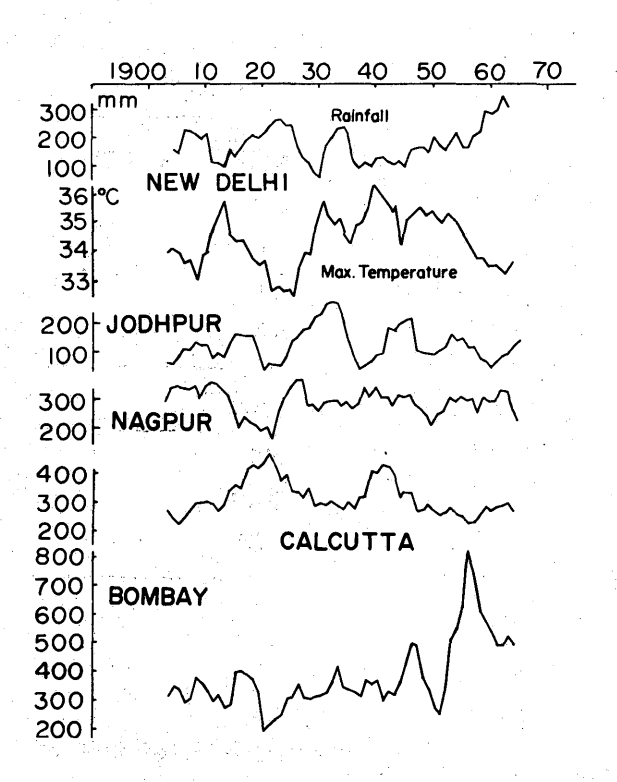
オ6回1974年7,8月の日本大量

たとえばイントキ島西岸のボンベイ ユビは 1900年度に降水電水を作がるれから19 60年日まで衛佐しているが、里点の変化す それでよく似ている。 したがって大路沿島か 型になるマチベット名唇が処距としての役割 を除大し、したかって降水量がモンスーンの 及まりと共に佐大するという説がみる。

しれし他の地域の降水電の変化はまた夏を うた種梢を示し、舒は、インド西岸とベンが ル湾北野は佐と江连相間を示すということも いわれている また年によって モンスーント ラフが北上するとネパール付近が雨が探える がインドの大印含セチロっとなり、連にモン スーントラフが南下する年にはその逆になる ヒキいわれている

オを回にはインドの5代長の8月の月降水 受の5年移動年功はの変化の構みを示した またニューデリーについては日告を気はの月 主以位,5年段勤年的使,夏化丰东した 降 川童と名名気造はかなりはっまりした连相関 を不している またジョドプールレナグプー ルはよく外た変化をしているがカルカッタと は连相間が目立っている。

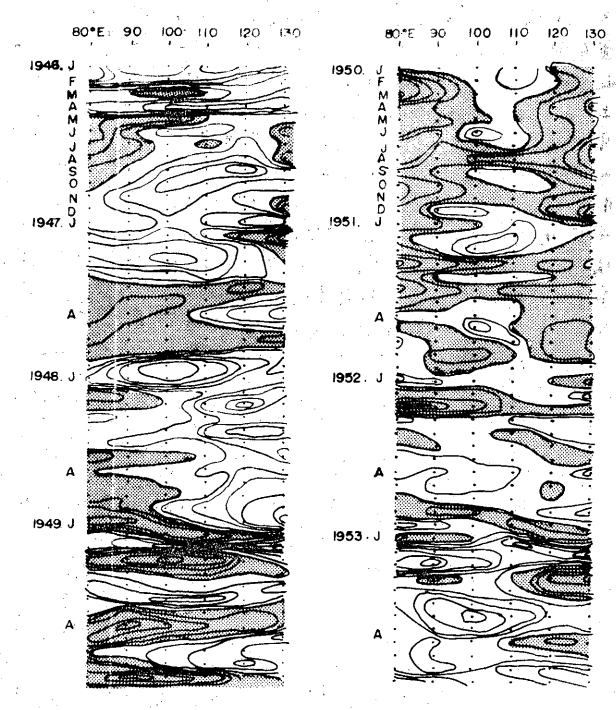
オ「国は北降るのなに治らるのをからし 30° Eまでの10°ごとの6代長での500 mb 后度《年年俗卷他《1946年1月》与



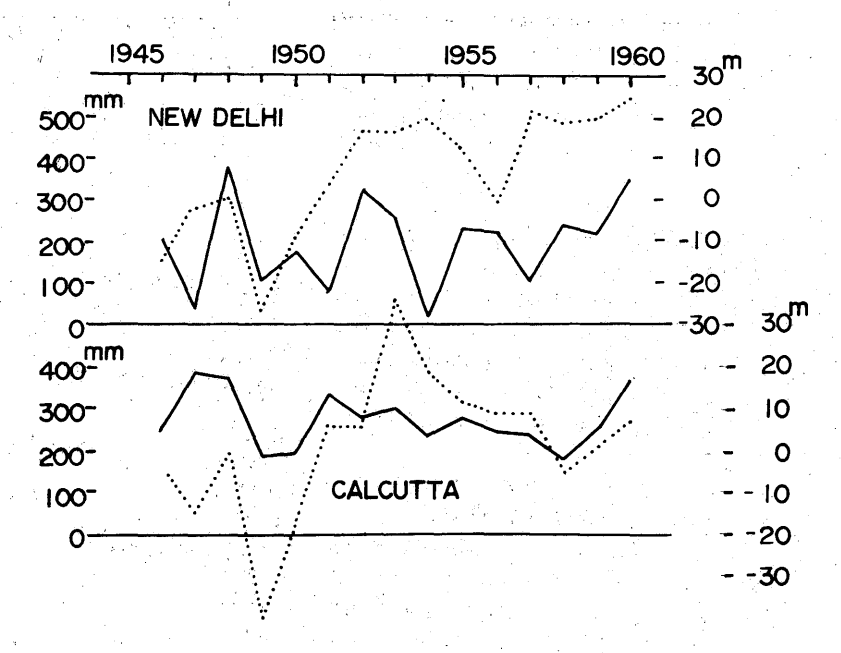
インド各地の紹降水量の与年移動平均は の変化、ニューデリーの現象を気造の変化を含む

1953年12月までの変化を示す。夏: 《偏危赋归里》、正《偏危赋证后《区别 してある。 等偏危位投力20m ごとに面 れれている。 これを見るとしのその年の ようにイベット名気をの発達しない重し 1953, 4年の上文に上、斧連丁2夏 とかまることがわなり、その何何の数な 月も特後する傾向のなることがかれる。 次にこのうちで1946年れち196 0年までについて8月の降水を(ニュー デリーヒカルカッタ)をそれぞれの地長 126 . 280°E, 30°N L + 1 90°E, 30° 較してオーの国に示した。この図を見る と年によりたななるが一般には雨地差と もチベット交気圧がよの栓度は近で発達 して、3年には降小重も大きいようにみ ፈኔ.

なお、この研究の名す屋大学程の記二数なく代表とする文が各種を研究を強外 予例調査の一幹として行ったことを付取して 路力して頂いた各位に執着で表す



大月风、北海30° 你的多500ml而京庆平年偏是他的变化。



オーの図、1946年から1960年までのニューデリーとカルカッタの8月の月降水電の変化(実体)と30°N,80°E(ニューデリーに対な)なよが30°N,90°E(カルカッタの対な)の500ml
西月平八名度の千年俗名位の変化。

大気の大循環の中の日本の気象の指導 気象衛星雲写真の利用

山田幹夫 (香川県立高松高等学校)

1. はじめに

大気の大循環は気象学習の基本であるにもかかわらず、これまでなおざりにされてきた。 地学教 杖のなかでも気象放状は天文敵杖にまけず敬遠されて、これまでもとかく講義だけの学習にあわっ てしまい生徒の実風や体験を通した理解とはなりにくかった。 気象学習に気象衞星の雲写真を利用 することによって,敵室で天気,気象の問題を生徒に身止まものとして学習することができたので 、その2、3を紹介してみたい。

2 気象指導の年間計画とシステム化

気象学習の目標の一つに、日本の天気の理解がある。したがつて一時期にまとめてこれらを学習 しても効果がりまい。そこで、4月以降とれどれの季節に特有な天気現象や天気の移り努わりまじ をそめ折々に記録(採集)して,それらを学習時期に資料として学習を展開するようにした。その ために気象学習ノート(4月以降毎月a課題を設定)としてプログラム化した。

1学期に4月a連続天気図の集め色塗り作業、梅雨の天気図からのオキーツク気囲の発見、つゆ 明け、夏型の天気図の検討から小笠や気団の確認などもするようにした。遠尾中文化祭など特定の 月々天気予報などもさせるなどして新聞天気図 ,テレビ天気図について呼ばらもたせるようにした。

3、天気の移りかわりを予想するたちばっ

気象学習の一つの目標は天気の移り変わりを予想することがざきることである。 中学校の気象学 習でも「天気の移りかわり」は気圧配置のようす、および高気圧、個気圧、脈深の移動などから予 想できるとしている。ところが二れまでの学習では天気図をみても,動かない天気四, 図上の記号の理解 にのみ終って、天気図を天気の移動、つまり動いている大気現象の中の一時点を表現したものとして解釋していたようには思 われない。気象学習は大気の物理学としての側面だけをあっからのははなく、天気を動く大気現象として把握し、その中に因果

関係や規則住が発見するようにはZMのさらに日本の気象を大気の大循環の中で理解するようには、また天気図/投充"サを みるような固定的なあっかい方をあらためて"動く天気図"としての見方へ、まらに客の空間的分布を直接読みとれるような立体的 を見方ができるように導かまければ"をらない。

4. 連続天気図 と雲写真による実習

天気。移り変わりを理解するためには、付多圧、高ラ圧、前院の移動、付えたの発達過程のと"に ついての理解があければ"ならなり。

ア、4月の連続天気図30日向をすりぬいて台紙/にはり,色鉛筆で色塗り実習をして、生徒は佰気圧か。 発生地、移動コースにとれどれの特色のあることも発見するとともに、発生、発達をどの無過を理解するよ うにした。

1、この色達り作業の結果と対応に気象衛星要写真を検討る2とで要の分がまどかよくわかる。

次 この色差り作業の模範解答(実際)として、気象衛星エッサによる、連続要子やを作熟提子した。 工、二の色量り実習は天気の特り変わりのかですく、天気図中の旧気圧に要の分布用場の分分 を書きこむことで、低気圧の構造を知る。

5. 大多の大循環

大気の大循環が地理敬科書の古い記載の転載にヒビョンているのが一般んとでである。高校地学では、地学工 地学エロラサられて、地学エマッグ地学における変化とエネルギーでの中で、太陽校射エネルギーとと aはたらきとして、太陽放射のエネルヤーと地球の熱収支という内容zi大気の大値置を"太気,木の 1伯還とそのはたらきとして学習するようになってりる。地学エマはが全地球的な気圧分布とその姿 化"z" 艾贡《文循墨·ELU 在州ZU3 か", 実際《教科書《内容は地学工, 地学工《山本》的地理教 科書の記載の範囲もでることがなり。

日本の気象は当然大気の大循環の中での変化であるので、気象学習の根底として大気の大循環を 理解はければならない。日本の気象変化を学習する基礎として、気象衛星電子真の資料をもとに大為 の大循環を生徒の平で実証的に、実習を通して理解把握し、自分で細立てることを主体的に気象を 習のプログラムを構成した。

6. 恆気圧の構造をとらえる。

恆気圧の指導に際して,断側図を提示してきたが,正しく理解されまかった。下図のようま雲写真を与えて



当日の新聞天気図と対応して雲の分布 (気象が天気図との対照の効果的)をを撃することでができた、温暖前線、の雲の分布 が立体的平面的によく理解できる。

輪島 快晴 高松 荫庵里 (河(中)) 松山 高庵里 大分 高庵思 (高(中)) 鹿児島 剖庵里 名瀬 紀庵要

四面 中

フジエット 気流をとらえる。 これまでの飲料者の指導ではノジエット気流ということばはわかったとしてもその実験はまつたく理解されずに終っていた。 このジエット気流を自身の頭上でとらえるかく実習をニステい化した。

(術)

- ① 高層記錄觀測他 等風塵概 等温線如子ジエット軸の発見
- (2) モデルジェット気流雲の分布要写真との対応

実習を中心とした気象学習のプログラム

ĺ	1	7	È,	94		頃	15	1			考			稞	7.		事		I	Q			T	実	智	項	目	Τ.		考	٠.	5	?	事		項	
																					100	-	+	気予												り方点	展
. 1								1 1														8		失速方												循環	
i															流					-	,			0190							知 ii						\neg
ļ.,	t	. }	0	Н	庙	0	心	0)												つ. 本	里	9		英人				,									
																					, (1	1	循環				1									
	,	7	*	ista	73	ĬĀ.	n.	7	t:	P.B.	妆	針	ī	2	1V 3	1	7 -) i	7 7. 7 7	, T	天	- - -	+					動		ħ	٤ ا	F 7		北京	留	易風	
1.	1							.7																												10 m	
																					k (16	13.	岛 13	F) :	鸟岛厅	15	117	n i	X II	tr)	立	与开	のが	生地	7
								j.																												冷前斜	
. !	ŀ	ì	21 ₁	ve	121	, -																$ \Pi $														中下骨	
1		1							州,			17	%)	1-		0 1	49) 11	ו ע	al 9	p o	17/		1	, 20	733	17.	71/619 04							雲	Δ.	1,1/3	4
. -	+	1			12							T.	12.	٠	49 (+ 1	(1 À	10	· ·	齿	+3-	\vdash	15	5 131 .	法	坦	中西兴								اقد .	VD /	4
1								9																												界人	
3	ď	I)	P	χ	T	٠,	4		98	r <i>u</i> r Het) ')	9	玄	? ? . :	甲人	其	审	的)/ 上	1/K	(16) Tai	עוו															東貿	かし
	-														雲)							-	1	帯の発	2,1	MI	間のな	义区	()	0) 1)	师	×	11	0/5	*		_
-	+	_													の豊							100	ì	プロッ	7 }	気	流の	V	L	7	気	流	0	動の	徐	見,寒帶	
14			0										なの	P.	3動	, · · ·	30.	13 1	ă).	の誓	20	13	١,	 見	. ?	Ġ		等	風	<u>i</u> \$.	髁,	有	100	级区	.)	寒 带	刑
Ľ			変化						Ŧ	ti).	n	布	·		نبت		4 5				٠.	<u> </u>	1	<u> </u>				MK	رس.	1	と						_
5			矣					ļ	٠.	む	ž	ž	. `	بِدِ	1 4	Ĺ								丝负月													
Ĺ	-+		函		_		_			野	*	经:	声		度	Ţ .	1					14		₹產,										27	動		
1		凝	結	稂	9	実	験	. }							及成							17	和	先天乡	112	ع [ا	雲岩	1 2	÷	7	の存	الله الم	2				
L	1	断	娅	膨	, Ho	ξ.	Ċ,			24		":			'/\ 		<u></u>		3	139			Ì	Á	<u>, 18</u>				:_ :			7	1				
		t	気	9:	F)	È	74	定		ጷ	Ŧ,	n	13	1	Ä	 	•	n 1	ri	\ .	***		1	く気の	大り	催	環の	實	帶	前	娘。	のす	多動	(3	- 9	南下	,]
17			型							7	七	vj	17	4	H	,	z, •	<i>,</i> '	. P.	<i>A</i>		15	1	7-0) E	本	の天	夏	9	北	Ε,	1	有雨	季の	停	滯)	1
L	ľ	雲	写	眞								1			_ :		- 1					l														南下	

MUレーダーによる地球大気の観測 京都大学工学部 加藤進

1 はじめに

ロケットや人工衛星の出現が、地球を取り巻く宇宙空間の研究に飛躍的進步をもたらしたことは周知のことである。しかし、此等機糊体に比しても決して劣ることのない地上観測装置が Incodenent Scatter Radar (略してISLーダー、一名 Thomason Scatter Radar とも呼ばれる)であろう。 羅網体観測はその軌道に沿ったあらゆる点で可能であるが、時間変動の空間変動かの判別ができない。他方、この地上におかれたISLーダーは、空間のある点における時間変動を連続的に測定できる。 つまり、両方法は互いに補い合っている。 勿論、ISLーダーの測定できる領域はISLーダーの真上とその近傍に過ぎないが、空間的に大規模な現象を調べる上では、他の国との国際協同で空間的変化をおさえることができる。 実にこの為に、アジアでのISLーダーが国際的に必要とされている。

ISL-ダーは電離層の全域に亘って、連続的に極めて多数の物理量に関する詳細な情報を与えて呉れる。電子密度・電子温度・イオン温度・組成から、イオン速度・中性大気速度や温度といった多彩な顔ぶれであり、ISL-ダー技術は電離層の観測とその研究全域に新局面を拓いたと言えよう。

更に最近、ペルーのヒカマルカのISレーダーは、ISL-ダー技術がmiddle atmosphere (高度10 - 100 km)の測定にも適用できることを明らかにした。すなわち、秒速10cmの精度でこの領域の風の連度を測ることに成功した。将来、風速以外の測定も可能となるであろう。この領域は従来、気象ロケットや衛星からの光学測定によって知られるに過ぎなかった。そして、ロケット発射頻度(週1回)や光学観測の時向分解能(数十時间)には制約がある。

ISL-ダー技術によって、私達は今や成層圏から中間圏 熱圏(電離圏、磁気圏)まで、つま

り地球を取り巻く厖大な環境を地上から同じ方法でいつでも測定できることになった。これは異った部分の地球大気の結合を知る上でまさに重要な事であり、近い将来この方面の私達の知識は大いに増加し、詳細になろう。

私達は数年来、この種のレーダーにつき深い興味を持って実地調査・文献調査を行い、実現性について検討を重ねて来たが、向題の緊急性と共に装置のコストも考慮した結果、先ず、middle atmosphereのリモートセンシングを中心とする小型ISLーダーとも言うべきMiddle and Upper atmosphere Radur(略して、MUレーダーと呼ぶ)を建設することが望ましいという結論に達した。MUレーダーはISレーダーの約1/0の規模のもので、コストもほぼISレーダーの1/0ですむものである。大気乱流、流星飛跡を散乱源として、これは15-110kmの高さに亘って大気の運動を詳細に測定できるだけでなく、パルス圧縮等の技術的工夫を加えて、下部電離圏プラズマ用ISレーダーとして治躍できる可能性も持っている。

2. MUL-ダーの原理

2.1 MUL-9-BVISL-9-

電波は大気の屈折率(或いは誘電率)に揺らぎがあれば、その揺らぎのスペクトル中のブラック、(Bragg)条件を満たす波数成分によって散乱される。これはあたかも狭い帯域フィルタで揺らぎのスペクトルをサンプルするに似ている。サンプルされる揺らぎはせいぜい電波の波長程度の小さなスケールのものであり、大気のより大きなスケールの運動に乗っているものと考えられるから、この揺らぎを"トレーサ"として大気の運動、すなわち風を求めることができる。この運動は散乱波のスペクトルのドップラー偏移に現われるから、逆にドップラー偏移を測定して大気の運動を求めようというのがMUレーダーである。一方、揺らぎそのものの特性は散乱スペクトルのドップラー拡がり及び形状に現われるので、予め、これらの違いを理論的に調べておいて、観測と照らし合わせることによって、大気の種々の物理量を求めることができる。主として散乱パワーから散乱体の密度が、ドップラー拡がりから温度が、更に散乱スペクトルの形状から組成その他の情報が得られる。

ここでは主として散乱波のドップラー偏移だけを測定するレーダーをMULーダー、散乱波の

スペクトル解析まで可能なレーダーをISレーダーと呼ぶ。

2.2 電波の散乱体

一口に屈折率の揺らざと言っても middle atmosphere の上層を占める熱圏大気と下層の中间圏・成層圏大気とでは、その特性は本質的に異っている。 中1表に高度別に代表的な電波の散乱体(Scatter)を示す。 すなわち、上層の熱圏ではプラズマのランダムな熱的揺らぎ(thermal fluctuation)が卓越しており、電波は自由電子によって散乱される。一方、下層の中间圏・成層圏では、中性大気の乱流(turbulence)によって生ずる非熱的な揺らぎ(nonthermal fluctuation)が熱的レベルよりもはるかに大きくなる。電波の散乱体は中向圏では熱圏同様自由電子であるのに対して、成層圏では構成分子の分極によって生ずる双極子モーメントである。

更に、MUL-ダーでは高度80-110 km で流星発跡 (meteor trails)を散乱体として利用することが可能である (流星飛跡からの散乱波のみを受けるレーダーは meteor Wind Radaxと呼ばれる。ここでは略してMWL-ダーと称する)。

ISレーダー, MUレーダ 一及びMWレーダーの三種類

D	Thermosphere	Mesosphere	Stratosphere		
Region	z > 80 km	80 km > z > 50 km	50 km > z > 10 km		
	Thermal fluctuation of plasma. (110 km)	Nonthermal flu Neutral atmosp working on de/	heric turbulence		
Scatterer	Meteor trails	· 			
	Ne (free electron)	∀Ne (free electron)	dT/dz (bound electron)		

才1表 高度別の散乱体(Scatterer)

の超高層レーダーの特徴を散乱体と測定しつる物理量について力2表に概念的に示す。

3 MUL-ダーシステムの概要

レーダー方式としては、単一ステーションントスタティック・パルスを出る。 はファク・パルスを出れてあればりのが、観測とはその範囲内であればりましい。 途信パルス長の最小は10/Hsec(これは10

4. おわりに

1975年秋東大宇宙研で南かれた学術会議電波科学研究連絡委員会電離層小委員会の談話で、日本におけるISLーダーの建設につて知違京都大学工学部のグループが話題を提供したが、その後米国に行き米国コラド州ボルダー市の郊外のSunset Caneyonで実験中のレーダーを見学し感銘を受けた。このよーダー(Sunset Radan)を元にして、当初の案を

type	MW-radar	MU∸radar	IS-radar
peak power	10 kW	2 × 10 ² kW	2 × 10 ³ kW
antenna	4 Yagi	100 ^m × 100 ^m array	100 ^{th¢} dish
ionized meteor s trails c 80-100 km	0	@	0
a t nonthermal t fluctuation e 70-80 km	X	@	0
r thermal r fluctuation > 80 km	X	Δ	0

	1		
observable	$\Delta\omega_0$, Doppler shift of transmitted wave	mainly Δω ₀ as by MW radar	f(Λω), Doppler spectrum
derivable	W(neutral)	W(neutral)	W, T(neutral) N e,i, T e,i E etc

オ2表 MW, MU及びISLーダーの特徴但し、Q及びX印はそれぞれその散乱波が愛信可能及び不可能であることを、Δ印はパルス圧縮等の技術により受信可能であることを示す。又、Wは風速、下は温度、Nei, J 、Tei はそれぞれ電子及びイオンの密度及び温度、Eは電界を表わす。

できるだけコンパクトにしたものがこのMUレーダーの案である。将来大型のISレーダーへと発展させるべきであるが、これ自体としてMUレーダーは充分価値あるものと思われる。幸い、昭和52年度はISレーダー建設の基礎的向題の為に、文部省科学研究費総合Bが認められた。

大気夜光強度変動からみた上層大気の運動

福山 薫 (京都大学理学部)

1. はじめに

表 1.

高層大気の大気光放射強度は、時間、空間的に種々の変動をしている。その大気光放射をもたらす光化学的に活性な大気の微量組成の濃度分布は、光化学過程だけでなく、この高度領域での大気運動にともなった輸送効果によっても支配されている。 したがって、大気光強度の観測・解析は、現在の

Species Wavelength Reaction
OI 5577Å $0+0+0 \rightarrow 0_2+0(^1S)$, $0(^1S)\rightarrow 0+h\nu$

Na I 5890,5896Å

OH 0.38 ~ 4.5 M 03 + H -> 02 + OH*, OH* -> OH + hV

ところまだその様々な構造についての情報の女ない上層大気における物理的、力質的過程を理解するための一つの有力を手段を与える。

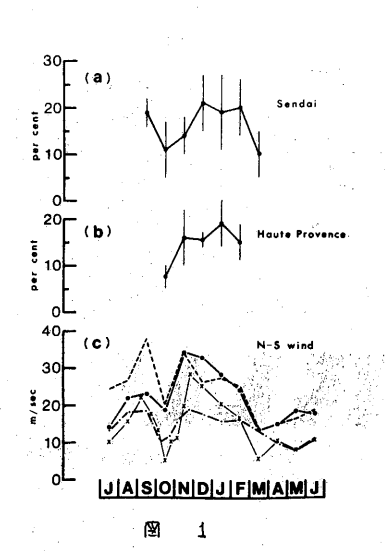
ここでは、IGY以降最近までの北半球化、中韓度 10数カ所の観測をでの大気夜光の地上からの測定値を用いておこなった統計的解析の結果に基づいて、下部熱圏・上部中 同圏での大気運動の講符性、さらに他の高度領域特に成層圏での大気運動との関連性について述べる。

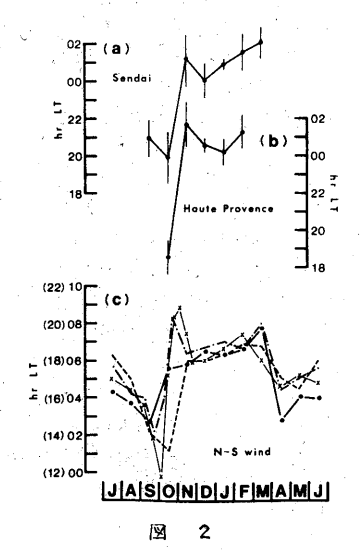
解析に用いられた大気を光放射(表1)の主要な発光層は、5577Åについては下部熱圏、Na、OH放射については上部中周圏に存在し、その厚まはいずれも10km程度である。

2.5577A放射z太陽半日周期潮汐液

中稗度での5577Å放射の夜間の変化には、顕著な半日周期振動が存在する。 周期解析により末められたこの半日周期成分の振幅・位相の季節変化をそれぞれ個(、2に示す。 これによれば、半日周期振動の振幅は、平均強度の10-20%であり、これは、この高度での酸素原子濃度が3-7万変動していることに対応する。 振幅は、9月と冬季に大となるのに対して、10月と冬から春にかけて減少している。 関2によれば、この半日周期の放射強度は、冬期には真灰中に最大となり、春にかけて位相が遅れる傾向がある。 また、秋にはまめめて顕著な位相の変化が存在している。

図10,20は、ヨーロッパ中緯度4カ所において、流星風レーダ等で観測まれた太陽半





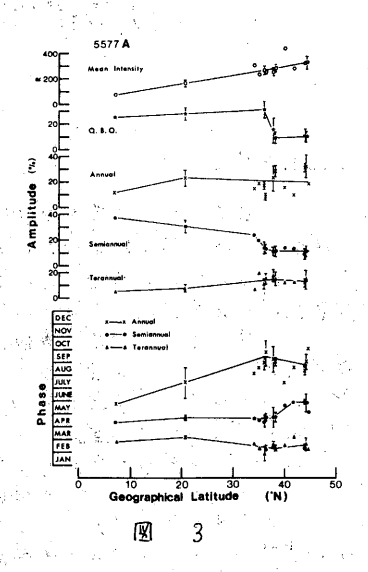
3、季節变化·準2年周期振動

大気を光の季節変化は、1年、半年、4ヵ月周期振動から成ることが、周期解析によって見い出されてまた。 またこれらには、顕着な緯度依存性が存在する(図3)。

低緯度では、5577 A・Na放射ともに、半年周期 変化が、最も卓越してあり、その放射強度は、4月中頃、10月 中頃に最大となる。この半年周期振動は、太陽か年に2度、 赤道上を通過することによって生じると考えられてきたが、緯 度35°付近で、この振動成分の位担には有意なずれがみられる ことなどから、下層からの波動写による熱、運動量の輸送が、 半年周期振動生成に寄与している可能性が考えられる。

1年・4ヵ月周期成分は、中韓度できめめて有意であり、1年周期成分の位相についても、太陽高度の季節、韓度変化のかによって説明され得ない韓度変化が存在する。

低・中緯度での大気老放射強度の季節変化の特徴が、 それぞれ異なるということから、この高度復域にかいても、低・ 中緒の大気大循環の遷移復域が、緯度 30-40 付近に存在する 可能性が示摘されよう。



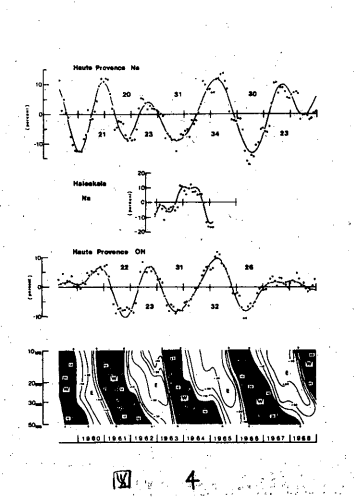
また、大気夜光には、平均強度の 10-30 名の 振幅を持つ準 2 年周期振動が存在し、よく 知られた熱帯中部成層圏での東西風の準 2 年周期振動との対応性があるように見える (四4)。 このことは、熱帯成層圏の準 2 年周期風の影響が、下部熱圏にまでほんでいることを示唆する。

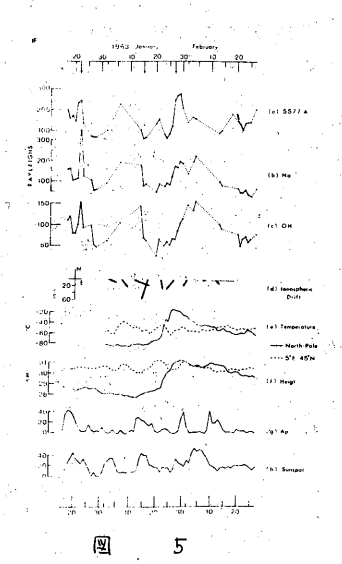
4、冬季成層圏突然昇温時の変化

成層圏突然早温時の大気光変動の解析によれば、各夜光とも、100名程度のまわめて大の強度増加が認められ、これは約1週周持続する(1963年1月末の昇温時の例を図5に示す)。この放射強度の増加は、中部成層圏高度での極うずの分離、崩壊とほぼ同時的に生じている。これは、成層圏突然昇温をともなう大気循環の接触は、まず上部成層圏で越り、それが上下両方向に伝搬していくためであるう。

また、この期間に、大気光発光層高度での平均風もその才向が遊転し、南向き、西向き成分が現めれることが見い払されている。 さらに、2で述べた5577A放射の半日周期成分につ

いても、顕著な位相変化が 生じることから、太陽半日 間期潮汐波が上層への伝統 中に、平均風等との何らか の力学的相互作用が生じて いることが考えられる。





非断熱過程にあけるプラネタリー波のエルギー輸送

川平浩二(京大理)

§1. 序

Eliassen and Palm (1961)が錆に21X来、プネネタリーのエネルギーの鉛直輸送は、顕動の南北輸送と関係がけられることが、理論的・観測的に裏はけられて幸た。 (かし、最近の観測個人とくに長泉街量による観測は、動口下部(190km)まで日立の全球形が最温の接切について、定量的関係を講にることで可能にしている (Hirota (1906)、Barnetl and Hirota (1916)、とこるアンドアロ上部、中向口、型口におけるプがタリーはの様ねは、変化は口がも移動による非断動的影響で強くづけ、その样和は新型運程の下に得られた Eliasson and Palm の定理で成りとつかるか 疑力でぬこことは、これら上の大気大気中の非断型遅程下におけるプラネタリー波のエネルギー輸送についる語でる。

§ 2. 茎本方程式

定席ルシネタリー波を記述する方程才至しして、次の牙柱才未を考える。 のは Zomel Mean ままし、座標もからちゃらん(Po/p) を鉛直座標子として 考える。

$$\int u + u_0 \sigma_X + \rho_Y = 0 \qquad (2)$$

$$P_R - RT = 0 \qquad (3)$$

$$N_0 N_{32} + N_3 W = C(2) \gamma_3 + D(2) \phi_2 \cdots (6)$$

D= 含(200+100), N,=(2000+100), A(e), B(e), C(e), D(e) は株断製効果をようすいたかり、
ハ,=オンニョ number density 2-まコロッ 計類についる 川平(HNJ)を参照されたし。

H) \$1 = geoptential height, +, to 17 = zonal mean t & 3 e,

φη = c(2) N, φυ - c(2) D(2) φρ2 - u. c(2) 7 713 φ2 ---(8)

(1), (6) オより、中からを作ますると、

φω = (1- S-1 A(e) N3 C(g)-]- [S-1 u. JR Tv - u. A(g) C(g)-] f S-1 m3v

Elacus ad Pelmon 的添力 e - 放17 iko おにです。 非断熱対学を受力 tuctor?

(B) e f) すで F1 で サント、エネルキン 所ではそい、 即立の南北朝送となるとより、オンニの南北南送、Ralinhae cooling 当に F2 子3等 Z hi ニトルテマト3.

- 才角やのエネルギー輸送は、いに中でかけるり

Etally Elianes and Palmotte to tocto etal.

次にエネルギー輸送の かいすみるために、 ロ) XU、 E)XV、(一) は) XSTP。 (5)XP、(6)XP をなゆ

(中の) g + [c] (10 中心) g = 5] ± use R To + 5] B(e) R3 T3 +5] A(e) D(e) [(N s now - C(e) ns : ''(1))
(中川) 新 生 を 行 の オ と に 毛 ホ カ 下 お に 。

(90), + 1. (1. FW) = 5 1 HORR TO ... (12)

もだめとみなり、オメングかに「キンエネルヤーの多など、nadionhore coolingに伴うエスルヤーの変化をまる

もと、オる時、オンロウヤン大きでは則を子し得ることをましている。

多3. 数值部析的一個。

52 で 花 は ti 内 g = まり、U) adialatic change, (2) Prentonian cooling, (3) Photochemical heating,

(H) Newtonian cooling + Photochemical heating, (2) 113 42 の だりさに味ますがす カンミヒにした。

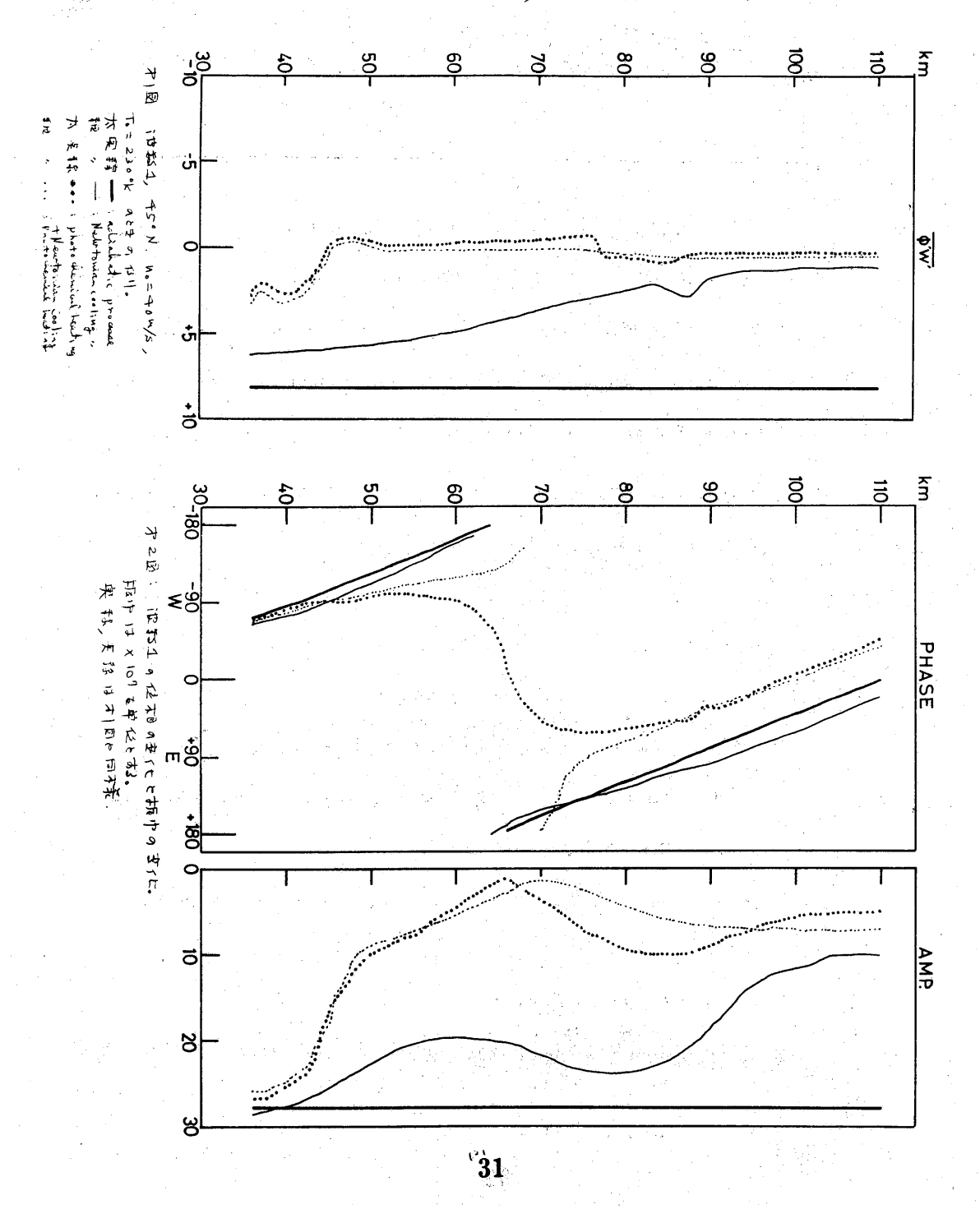
非 析型を効果を 示す。 A(B)、B(B)、C(B)、D(B) に) 11 では、 精度 A5°N、1月の 1日に 基づせ その かで 直分布

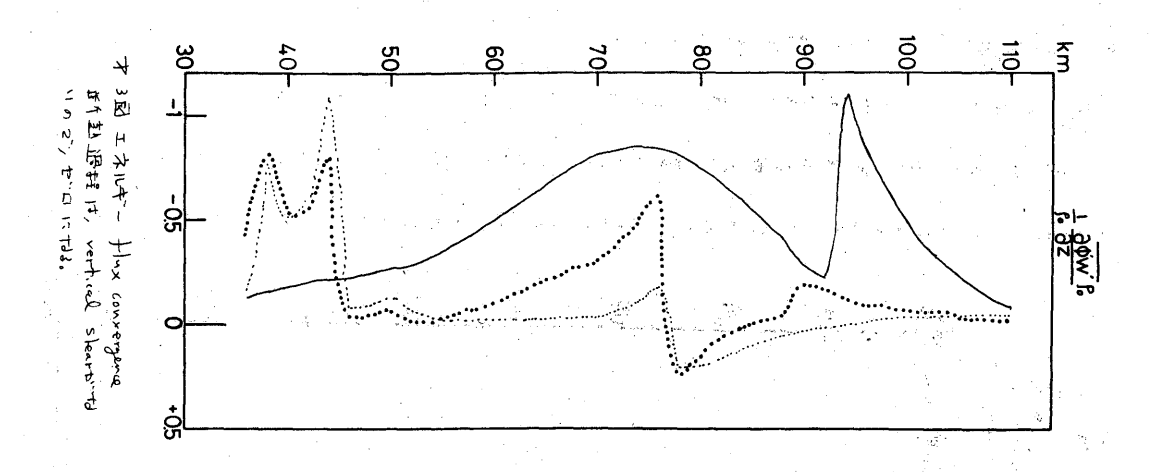
三花 かた。 カベミ、 zonal mean value に ちょく オタウェ ある。

今、新年日前に71172 ますのには x-3 面内にない。 エネルギー 中間で、vertical structure, To= 230 kのかりに7117、 其本のには x-3 面内にない、 エネルギー 事業で、vertical structure, energy flow convergence をむめたのか。 オーハオ3 同つである。 東西西委交 4 のかりに7112のみ むりまる。 持昇手時は、月下の女子 10mb 面におい?、 geoptential laylit、中、モ与主、 上の持升 110kmに大いには、 radiation condition を与こす。 全なたの 女々で十年の finite difference は もつ3 km = ある。

ナーロはエネルギー科送の例である。大東線でままれ、大野型は大かいで、エネルギーはためまた 「特達とし一定であり、他のはいっというのできまるようのでは、大きないのにはいる。colingのコルモニスト

おお(初東報)も、エネルギー輸送は上向主ご、その大きさは、「下川に河か」でいて、 次に、photochemical handing nit 芳皮 における(for for i) は 皮に エネルギー おがえのかけま 小さとなり、 チェーキをは におけるは、エネルギー ロボ 向きをはる。 豆に、 両着の非 間を をする とり入れてなり (太 英 孝) は、ついてエネルギーの中河及の向き は チントー ロトトー はできまって のになる まって ない ストーカー は ひまって からに ない ストーカー ない ストーカー は ひまって からに ない ストーカー は ひまって からに ない ストーカー ストーカー ない ストーカー ストーカー





そ1他, zonal wind n 社与nprofile にかってしいまれたか、 EAAII にいるは なねとをある。

参考文献

川平浩二 1975: 奥西吉部州回州公市瑞来。

Hirota, I. 1976: Q. J. Roy HaSoc. \$6 (to be published)

Hirota . I. and Barnett . JJ.

1976: Q.J. Roy, Met. Soc. (to be published)

Elienen, A. and E. Palin

1961 : teofys. Publ. 17, No. 3

赤道波の励起機構について

伊藤久徳 (京大、理)

1.序

熱帯成層圏の卓越波として波数S=3~4。問期T=4~5日の mixed Rossby-gravity wave; S=1(~2), T=10~20日の Kelvin 液 お存在していること はよく知られているところである。また S=1~2 T=10~15日の N=1 Ross by 混の解析例も報告されている。可能な wave mode、周期、液数のうち、何故観測されるような特定の波数と周期を持った特定の wave modeだけ が卓越するのであるうか。この 内題は赤道波の理論と、主に Spectral 解析の手法を通じて行なわれた成層圏赤道波の解析とが提出されて以来のたきな向題であった。

これはまず、準二年振動の phase のうち、 westerly shear 時に kelvin 液が、 easterly shear 時に mixed Rossby-gravity wave が 検出されることから、 zonal flowの shear が 選択性を持つ 伝播の内題として考えられるかもしれない。しかし対流圏の解析とつなけるとき対応圏上層に おいてもこれるの 混がたきな power を持ち上るへ 伝播していること、伝播理論だけでは wave modeの 選択性 R 説明 されえても 波教、 周期の 説明はできないことかる、 伝播以外の 向題として、 つまり 励起機構の 内題として 就定されねばならないことがかる。

成層圏赤通波の励起機構の理論としてこれまで三つのapproach がある。そのオーは lateral forcing 理論である。たきな energyを持っている中籍度擾乱のうち、熱帯た気が特定の浪む、問期を選択するというもので、Mak(1969)、Lamb(1973)ふによって論じられたところによると 4-5日同期の波が卓越するとでれている。しかし Hayashi (1976)はこの卓越する波の緯度構造は実測されるものと全く合わないことを示した、また中様度擾乱の鉛画版長がgiven という問題もあると考えるれる。これらの理論は forcing を boundary forcing としているが、feed backを考えると body forcing とすべきであり、このことを考慮することで新たな展制が期待されるかもしれない。

オニは不安定理論である wave - CISK理論である。これは赤道腺のenergy source が種類対配であり、かつこの機製は waveの convergence regionで形成されるという解析から、 wave と 種型がcoupleした self-exciting な 系一 wave による強制上昇で程気が形成され、その無放出で waveのenergy を作る ― を構成するというもので、種型対応の parameterizationとして CISK が用いるれている。 Hayashi (1970) によると実別される 彼は確かた不安定彼として存在し、その鈴直構造、七良く解析と一致するが、最大成長率の波は液長の短かい 周期の短かい gravity wave, Kelvin wave となってしまった。 Kur (1975) は 周期の 短かい 復日 その precipitationに対して moisture の供給が十分でないという考えを導入(water vapor availability factor n等 人) してこの理論を発展させた。それによると、gravity waveは不安定處とはなるないという結果を得たが、kelvin wave. Rossby wave の 破投、同期の登れは定則されるものをうまく説明し得なかった。この理論が正しいとすると precipitation (電子真)にかいても wave 同様の 大きな spectral peak を持つはずであるが、解析ではごく小さな peakが見えるのみである。

オ三は thermal forcing 理論である。これは積更によってWave か生成されるとする是では Wave ーCISKと同春であるが、積更自体は wave とは別の要因でできると考えてれた対する Wave の 応答をみるものである。 Holton (1972, 1973) によって提出されたが、これも Hayashi (1978)によって系統的に論ぜられた。 後は forcing の 釣直分布を e^{A sin 元分}元 (Hiscale height, zt: forcing の top)型として水平分布を geopotential field と同じと置くことによって次の様な結果を得た。 forcing の こ代の鉛値限長の限か resonantであること、同じ鉛直限長の限のうる円期の短続い限が混放度状されること、(低って Kelvin wave の 促放遅状性は良いが Mixed Rossby-gravity wave は damping を入れても悪いこと、vesonant wave の 公直構造をみると heating (W)と上昇原(W) が quadratic な phase 関係を係る実別される in phase 関係と異なること:

ここではまず thermal forcing 理論の立場から Hayashi (1976)の考慮しなか、た効果

- 1) forcing o vertical distribution o 效果
- 2) forcingo horizontal distribution o 影響
- 3). Zonal flowの列早!
- を入れて彼り場合の 問題晃

り卓越同期が絞かく出すぎること(鉛直展音が長すぎること)の Mik 圏での 以とばの quadratic な phase 肉体 3) mixed Rossby-gravity waveの 限裁選択性が良くないことがあるかとみる。次に積重対例と Wave との弱い相互作用 を考慮した model での特性き調べることにする。

Z. Thermal torcing model

春季学会で著者が発表した部分と重なる実もあるが、詳しい内容は除いてこう model で得るれた 結果を広べる。

り、forcingのつその鈴直版長の風か resonantでする。 USU static stabilityの鈴直恵化を考慮すると成層圏鉛直版長はおおって対職圏と成層圏の stabilityの比の 返棄をかけたものになりがなりだかくなる。

2) 同じ鉛直坡長 E 持つ 沈かうる、 Wを除いて他の物理量は周期の長い 版がより振り かたもくなる。 これは Wist equivalent depth のみによって波数で周期によるない鉛直構造方程式かる決定され、他 の物理量の鉛直構造もここかる決まるが(液数 周期に無向休に)、熱力学方程式かる温度の振り振りは周 期が長いほどたきくなることによっている。

3) forcing a vertical distribution を変えても resonant な限の鉛直構造はなという guadratic な phase 関係を保つ、近に言うと waveの構造は forcing a vertical distribution に insensitive である。

4) normal mode model (単一の wave mode のみを考える复数分離 model,能って zonal flowの shear は組み入れられない) のうち、び~中の model での 卓越性は かより Rossby 腱, Kelriu腹, nixed Rossby-gravity waveの順でたきく、gravity waveは卓越し得ない。 heatingの realistic な水平分布を考慮すると meridicnal scale の たきい Rossby 魔の振巾は小さくなる。 Kelvin 機は S=1が最大振巾を持ち解析と一致するが、 mixed Rossby-gravity wave はかなりたきい波数が迷れてれるという結果をもたらす。

5) normal mode modelでは heating の realisticな水平分布を考慮したとしても、それは maximum response の鉛直液長をわずかに短かくするのみである。従って最大振巾を持つ問期はわずかしか長

くならず、また似とwo quadratic な 関係もほとんと改善されない。

の realisticな heating の水平分布のもとに、同じ吸数周期を持つ wave mode の混在を許すと、horizontal structureは symmetric 東進 mode, 西進 mode, antisymmetric 西進 mode を それぞれ Kelvin 版、n=/ Kosshy 版、mixed Ressby-gravity waveと同定されるが、 wititeld には他の modeの混在がきいてきて、ITCZ にでは Q/と wig in phase 内存を満たすようになる。(オ1回) この気で墨要な働きをするのは鈴直 放長の 短かい gravity waveと考える れる。

り、準二年振到の えれぞれの phase に対応する easterly shear flow, westerly shear flowといった zonal flowの 効果を導入すると mixed Rossby-gravity wave の tropopause での最大振中の 促数 はそれ ごれ 5,4 となり たきな 収数の 卓越 はなくなる。(十2回) これは 大きな 収数の resonant wave は位相 速度か小さく 容易に "negative epuivalent depth level", critical levelに 出会うためであり、他の realistic な zonal flow profileの ときも たきな 波数の 卓越 は あり得ないと考えられる。

りしかし らでみたように最大振中の waveの鉛直波長がなお喜すぎ、症。て周期がかし短かすぎるという欠臭がある。(Kehnin 脱で 腹殻1, 周朝10日, mixed Rossby-gravity waveの機殻4で3,75日) それと 同連して対風圏での 同連成分の鉛直構造が実則では成層圏と逆の傾きを示すりに対し、この modelでは おおよそ 同様の値きを持つ。これるは実則の成層圏 波動か thermal forcing によって励起されたとすることを躊躇させるものである。

その他に上部成層圏の半年振動の westerly を加速するものとして 周期の短かい kelvin 混か表 えられるか、 仮数 1. 周期 5月付近の 憶は、下の準二年振動の phaseに かからず、十分な量の momentum flux を上部成層圏で持つ。

3積雲対流と Wave と弱い相互作用を考慮した mode/

thermal forcing 理論ではどうしても鉛直波長が長く出すぎ、従って対 阮圏での 風速成分のPhase 闽倭日解析と異なるものになってしまった。この欠臭はやはり務要対流と WaVe とり相互作用を考 感しなかったところからきていると考えられる。(cf. wave- CISKg 鈴直構造) また precipitation(雲 写奠)において小さいなおよも HOAVEと同様の Spectral beak を持っことも相互作用を支持するもの であるう。しかし Wave- CISK では序で述べたような弱臭を誇っている。この寿盾をどう克服する かがここでの主題である。

まずそもそもこのような planetary scaleの場において waveと 稜雲とが 相互作用するその強さが不 安定を起こすほど十分強いものであるうか。不安定を起こすほど大きぃ heat parameter り を持って いるとされてきた 根拠として

り eaterly waveに体なう積雲対応の熱放出かる むめた几が十分 たきぃこと

コ.G.F.D.Lの大街路 model かる解析されたりが十分大きいこと

があげるれるであるう。しかし前者は小さい scale か波でありその発果がそのまき大きい scaleの 波に妥当するとは思えない。後者についても、禮裏には当然 planetary scale wave a convergence region とは関係なく形成されるものがあるはずで、これと WaVeとの報互作用 の疣果の積重対 尻か合成され たheatingから計算した発果大きいりが出てきたとも解釈される。

もし相互作用が不安定を起こすほど強くない、ないしは十分強い不安定しか起こさないとすれば 弱い相互作用も替さなかよも、 waves convergence regionとは毎肉体に形成される琵雲対境 (以後こ れによる heating を 単に heating ないしは forcing と 呼か、合成されたものを 合成 heating と 呼かり によって forced される wave の卓越性という 取り扱いお必要となってくる。

この様に考えると:thermal forcing 理論の弱気であった構造の両題はこの場合の卓越诡では是正さ れそうである。(徒。て周期も是正される) 何乾なるこの卓越 波は、稜雲との 梅互作用を持っため.. w*(condensation level での w/) かたもく、かっ forcing と位ねか一致する場合にむこるはすでするか ♂、峠を大きくする穴効率的なenergyの下向き輸送を介なうために周達残分の傾きを対境圏下層で

成層圏とは逆にし、 Wave の鈴 酉波長 を短かく するはずだかふである。また precipitation ヵ弱ぃ peaks 内題も説明めつきそうである。そして基本のにはthermal forcing理論であるから 答 wave mode における茨敦選択の内髭は頼の疣果がほとんとそのまま使える。 これよの特質を会わせると 熱帯設助の励起掛構に併なう両題はほぼ説明されそうである。

ここで ざいれeat parameter Didamping rate.ここかる鉛直構造方程式は(X'=X(E) 中(E))eshe((Xxiwt) として)

$$\frac{d^{1}V}{dZ^{2}} + \left(\frac{S}{3k} \frac{R}{H} - \frac{1}{4H^{2}}\right)W = \frac{K}{3kH} Q + \frac{R}{2k} \frac{R}{H} SW^{+} \qquad Q) \qquad \text{a.t. } S = S \in \widetilde{\mathbb{R}}^{\frac{1}{2}}, \quad \text{h.t. equivalent depth.}$$

簡単のため等温大気を仮定し

85=\$ B MME Q = Qo sin MZ 0<2<2t Q=S=0 Z>=tと置くと 成長因 Z > Z + T $\frac{Q_0 \left(\lambda^2 + \frac{1}{4H^2} \right) e^{\lambda \lambda^2 t}}{2 \left(\lambda^2 + \frac{1}{4H^2} \right) e^{\lambda \lambda^2 t}} \frac{A \wedge \lambda^2 t}{A \wedge \lambda^2 t} \frac{1}{\lambda} e^{\lambda \lambda (z - Z_t)}$

ここで M=%。 λ=茄-种 ここから明らかに λ≥M = で最大 response が起こることがわかる。最大responseの飲酒遊長の & に対する 依存性を示したの かオ3因である。 みがある程度大きいとかなり卓越 股り鈴直波長が宛か くなることがわかる。しかしこのも,一般的にはちをどうして包めるかの向題がある。

一般的に グすとひか同分布 きとれば、グラ=くまほ)、気=(3を) とすると

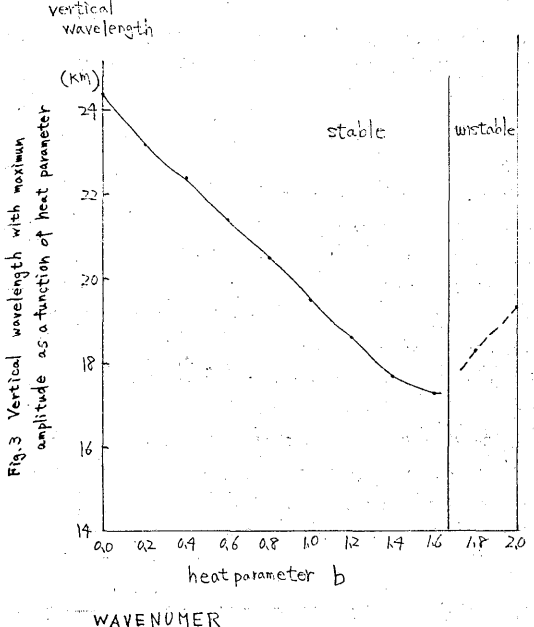
 $W_1(z)$ ($z < z_1 < z_2 < w$) = F(z) ($x = w^* + \beta$) $z = v^*$ い*= F(z*) (xw*+B) である。これは equivalent depth んのみ による。ここから合成heat parameter りは

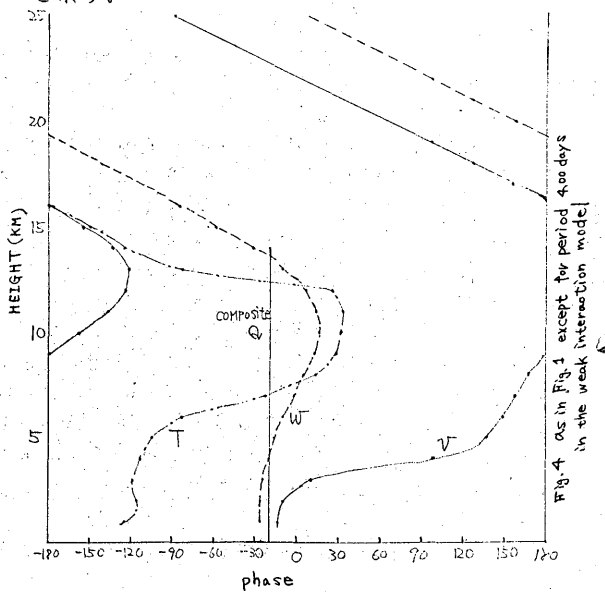
 $\eta = |\lambda \omega^* + \varepsilon| |\partial(z)| / V(z) |\omega^*| = \frac{1}{|\partial(z)|} \frac{|\partial(z)|}{|\partial(z)|}$ (5)

と書けるがこれは以つまり CISK heat parameter ちによらず、 たすなわま 鈴鹵旋長のみによる。後、 て最大 responseの鉛直波長でのしま、例えば G.F.D.L.大循環 mode | の heat parameter に一致するよう はちをとろねばならないという costraint がでてくる。 realistic な stability を入れた normal

mode model かはこの heat parameter ちは 不安定を起こす ちに近いところを とらねばならないことがわかる。

このちをとった場合の最大 response 9 周期 R mixed Rossby-gravity wave の版乾4で 4日、 Kelvin 脆の版較 1 で約15日となり、その鉛直構造は才4因で示すようた実関に近いものと言える。 また precipitation の spectrum は waveの peak と近いところで小さな peakを示すとともに全体としては red noise 型となり、これも現実にみられるところを示す。





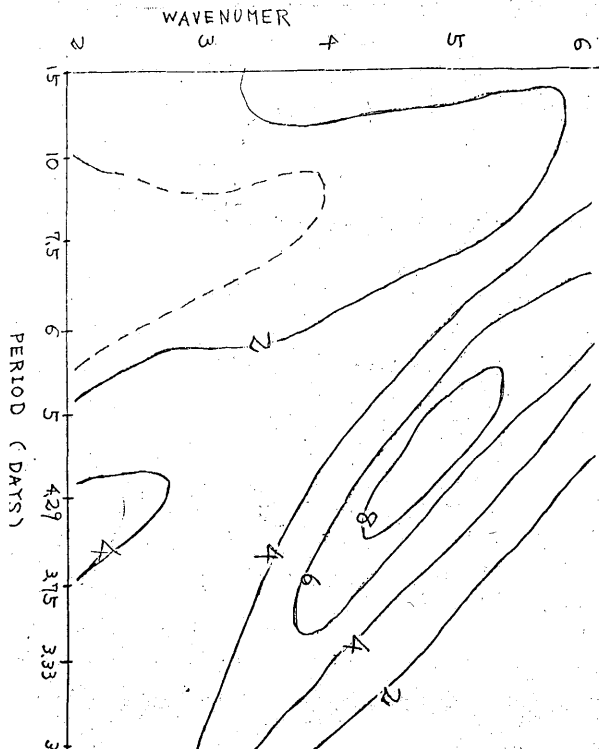


Fig. 2 Amplitude of mixed Rossby-gravity waves.
V component at 16 KM over the equator.
Zonal flow is the costerly shear flow.

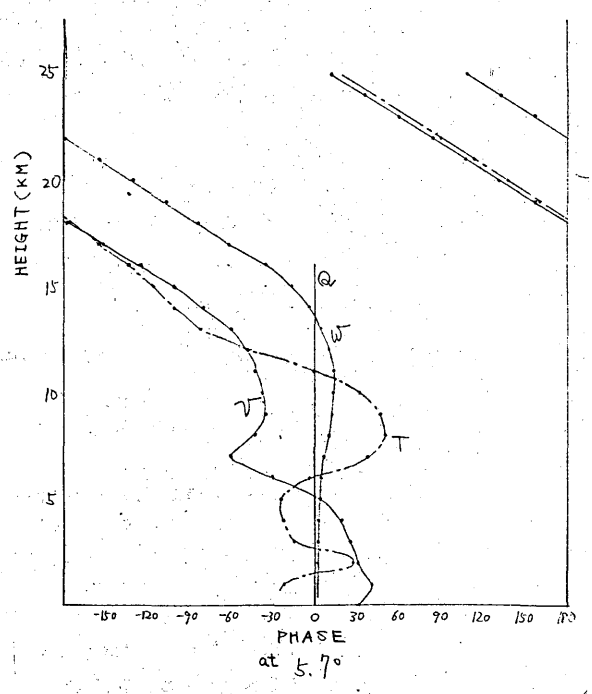


Fig. 1 Vertical structure of mixed

Rossby-gravity waves with

wavenumber 4 and period 3.75 days

気候の問題への 時間成分を展開した かっ一種で 大気大循環スペクト

鬼頭 昭雄 (京大理)

1. 180.81

7. st 97 7 の街米施 11 er = ソチラ 其以 Đ ď ĸ K 4K ٨ 畑本 四番 : F 4 7 , , 下海流江に既用のる ν 94 12 二番四世間 が の結果 気候変動に打する層心の ᢔ ú ~ HH C 2つ智装2 西野的です まる勢助生産量の減少とを知らない人口増加とも 3社会的经济的影響 19年のアンロ暦の19年の19年では、19年7日の19年年曜の海グドゥら、19年7日の19年では、19年7日の19年では、19年7日の19年では、19年7日の19年では、19年7日の19年では、19年 # # ずこか e v e v A m īī ~ 新 日 5 5 5 5 7 5 ,ر = e D. 80 . 9 四個 ٦Ħ æ; なら な 外带 À ₩ = 4 1 AL O

9 11 Statement Statement 501と55、気候を動についての原件る研究の指展が歯冊は障礙となってまたtorement on Climatic Change(1976)にはヘラスといるとおりである。 現ののチェンる下午の上が成功すれば、キチを十分にしての Second GARPで、嫌のひとつである「大気大偏々の殆ど的物性をよめる鬱薬を聞きかにし、そのに知る場合的神磁の過程を得めること」へ向、て極勢な動きのけずなけれることであ ます首額はMA

2. 瓦噪 6 c 瓦쪥麥動 1 及ほす梅萍の役割

反心病圈 糖皮 7 Ø. Ξ w ドニ神田 部分間の非規則為 くの qrinst の放出、介石漿準過量に ド、児康米西夕に由来する内面とに ドの日始後勢なつくり出すメカニス 小間の非衡型祖の作用の結果として は構つなの読が立て ٩ S A ---オス財 11 9 ï へ分けると Ð 気候来口に ほ 棒 12 c " ۷ の脚端離られ ちゃちの野分

4 3 の海洋による煎の流入が示唆す 湖野喝 中 4 大野田。 おなるこ 柳水水水 5、日梨 9 で 機士 女 事 す 春の りゅうにスケート で 歯へ する ない はって もっちらい にん けいちらいにかい 入場投写に そる 凸記 ; ov 280 cal year-1)、确准。動展 ₩ س ن 井 木 到 ラ 化 脚,人二名。 大明田)满面中大师回奔 ٦ 11 4 Million あると励りそる。 磨に軽大な熱格層を持つ bofar ice をものに かられるこう。 まに別慮米内に向りるくまでおろう圧物圏につかららはたそくのこのタイスドー しゃ様しゃのがはまに背面はそれの位間間の不均一20数を解析する単しの形の関係によるではない。 はずになる Monder Hoar も Cort * ~ #: 堻 K 9 XI ′ 百百百 4.89.4 r; ・海峡のギー込みであり、スケールの大きな弦やる。 毎に真大な熱格層を持つ bofar ice を。 また気偏米内に含まるべきである。牙も関連らいのタイムスケールを持つものがはまに幹価 のお介 田田のまま 动规 ٨ 前海。 静介 格二。 4 4 4 \$ つからまるはあると ø 例のが 猫淋ョ 9 7 お遊動では 時間ス フロマは動機 馬麻のオッ 十二分日 : 3 : k K 的私文 做# H Ŀ و

(1963) 本村院由梦。 斯·斯·日·日·3 大 都たったる Temperature (大きの ď 1,000 17 9 7 の事に事のののでは、 の阿爾谷町を本とるナイ きの母婦 5 顛前 10 - 250

9 0 æ

3. 木平洋赤道海域におけるSS丁波動と大気大循環の変化

個トイリン目解チリ(80m) 日白谷園職に倒3日式の井崎大井祥の、沿海崎県 中間の 140年による大規になっている。 図1に140年によるが米額の公形であるが、(457年に日には井崎良の各大路の巻銭(くしゅ)で、1カ白55年12日には響館な谷大路の窓ののキャーの。

Byerkmes (1966) ほこの1957 - 58にかけていられられる人のでは、1954 S S T かたしたしたのでは、1954 C にっこっていている。 182 は1925 - 28年冬の北大中洋路及におりる名面的圧ぐ

2 DEFERIFEET)

(2 DEFERIFEET)

(3 DEFERIFEET)

(4 DEFERIFEET)

(5 DEFERIFEET)

(6 DEFERIFEET)

(7 DEFERIFEET)

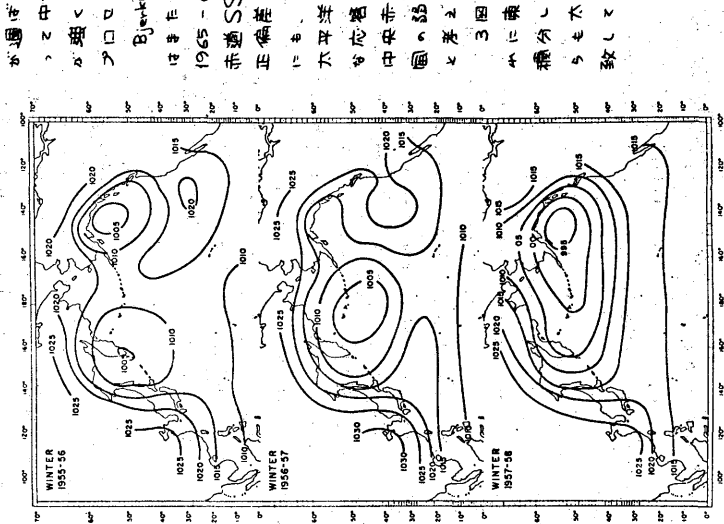
(8 DEFERIFEET)

(9 DEFERIFEET)

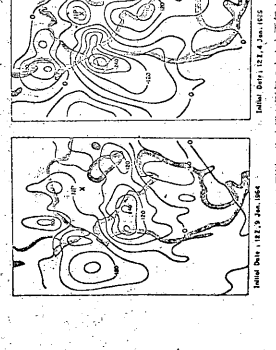
(1 DEFERIFEET)

中独市 At +, 概点 3 歌歌

¥ . € 垂雪



到 2. 平均通由争压分析(12-2月) 上=>= eyudoral uzumlyği、Fit warming 時 に対するも



man but itt i bandet 図3. 熱帯電源大平等の跡水質が何のときと平年より部へ ときの 500mh 高級定の分析 (Rountree, 片山)

的方面でもについているによるにした。 マンチンの爾田子中華の大子等のSTの旧籍のの南田・、南井県の高風の画の記ましてよります。これにはは海岸の記ましてませいには、189

3回でGFDL 半型の個GCMでよっの初期条件によせに職計値なは採に+3.5.5ののSZT偏衡を与え、30回面膨分に下にでっ 200 mp パターンの循軸である。 ようもれび浮出物の街廊に下降しておい、回2を幅のよっ

4. 時間成分を展開した大気大循環スペクトルモデル

前に述べた他にも、気候まず女気候変動と海洋がもめらに及ぼす影響についてモデルによる奥睺 はいめゆる大循環モデルさ行なめめている。 - 墺在曜からしい結果の得らめているのばすべて格子 点法によるものであるが、 (1) aliasing も起こさなり. (2) 西極という特奥点をもたない. (3) 波数別のふるまりが明らかに示せる。 - ドリッセ利点を持っスペクトルモデルが、いめゆる非糠型 頭の前頭時間で披水機を占く真とはまからを回避する方と(transform method)の発展と共に精 刀的に馘みらいつつある。 だびどちらりもデルにしても結果をestimate する躍に、時間に共に讃 変量がどのチラに変めるのかとりったことは大変見にくりものである。

そこで主に時間的ふるまいも取り出して見ることで目標にしたモデルもつてることにした。 のための方法として時間成分をも愚嗣した大循環モブルであれば、目的とする波敷(時間について の)の致を取り出せると考えた。

以下この考え方に立った簡単なモデルのあらましを述べる。

全球2層の基礎す程式 運動才程式 は (level 1,3)

$$\frac{\partial f}{\partial N} + N \cdot \Delta N + m \frac{\partial b}{\partial N} + \ell k \cdot N + \Delta \Phi = E$$

勉力学 a 式 if (level 1,3)

$$\frac{\partial \theta}{\partial t}$$
 + $\nabla \nabla \theta$ + $\omega \frac{\partial \theta}{\partial p}$ = $\frac{1}{C_p} \left(\frac{p_o}{p}\right)^n Q$

(level 1) 連続の式は

$$\Delta A + \frac{de}{9\pi} = 0$$

1 ----- Vi 0: \$\overline{\Phi}\$ -----

4 - V4 04 W4 - 1000

静力学。式设心状能方程式 O.S (lavel 2, 3.5)

$$\frac{\partial \Phi}{\partial \mathbf{p}} = -\frac{R}{\mathbf{p}} \left(\frac{\mathbf{p}}{\mathbf{p}_0}\right)^{\mathsf{m}} \mathbf{\theta}$$

$$\overline{F} = \mu \nabla^2 V + K \frac{\partial^3 V}{\partial p^2}$$

$$\frac{1}{C_{p}}\binom{p_{0}}{p}Q = E_{T} v^{2}\theta + h (\theta^{*} - \theta) + \frac{pgC_{p}}{4p}C_{p} w |V_{4}| (\theta_{4} - \theta_{4})$$

薩と海と区別する係数

。陸ごW=O、後でW=1 また Level 1では考えない

意界条件 は

$$\omega_0 = 0$$

$$\omega_4 = - f_5 g V_4 \cdot Dh_5 \qquad (V_4 = A V_3)$$

$$\theta_4 \quad \theta_1, \theta_3 \cdot b_5 \not + \mathcal{F}$$

$$\theta_6 \quad given$$

これらの式を無次元化したあと、未知数 81, 83, 41, 43, 53, 53 : 既知数 81, 65, 64, hs を空間水平2成分と時間成分に展開する。

展開の形式は

$$X(t,\lambda,\mu) = \sum_{n=0}^{\infty} \sum_{n=0}^{\infty} \sum_{n=0}^{\infty} X_n^{\pi} e^{\lambda t t} e^{\lambda n \lambda} P_n^m(\mu)$$

1 : longitude

u = sing 4 Estitude

P" (4) normalized associated Legendre polynomials しべんなもの動力学の式に代入し、

電車 1 3元 () e-it't e-in' P () cos φ dφ dl dt ま 抱 す と 、

$$\begin{split} & i \, T_{\alpha} \, T|_{\alpha} \, + \sum_{\beta} \sum_{r} i \, m_{\beta} \, T|_{\beta} \, U|_{r} \, J_{\alpha\beta r} \, + \sum_{\beta} \sum_{r} \, T|_{\beta} \, V|_{r} \, K_{\alpha\beta r} \\ & - \frac{1}{2} \, \sum_{\beta} \sum_{r} \, (T \, 3_{\beta} - T|_{\beta}) \, i \, m_{r} \, U|_{r} \, J_{\alpha\beta \sigma} \, - \frac{1}{2} \, \sum_{\beta} \sum_{r} \, (T \, 3_{r} - T|_{r}) \, V|_{\beta} \, (K_{\alpha\beta}, -S_{\alpha\beta\sigma}) \\ & = - E_{\tau} \, D_{\sigma} \, T|_{\alpha} \, + \, h_{\tau} \, (T \, |S_{\alpha} - T|_{\alpha}) \end{split}$$

EEC TI.T3, UI, VI, TIS : をいぞれ 日、日、 UI, VI, 日* の係数 な = (で, m, n) 、 日、25 日際に3切元ベクトルを表わす

乙: 時向傳教

東西
東西
東西
東西
東

i-m: 南北西極向を珠面が切り回数

D = n(n+1)

 $J_{\alpha\beta\sigma} = \frac{1}{8\pi^2} \int_{0}^{\infty} \int_{-\pi/2}^{\pi/2} P_{\alpha} P_{\beta} P_{\gamma} e^{\lambda(m_{\beta}+m_{\gamma}-m_{\alpha})\lambda} e^{\lambda(\tau_{\beta}+\tau_{\gamma}-\tau_{\alpha})t} d\omega d\lambda dt$ $K_{\alpha\beta\sigma} = \frac{1}{8\pi^2} \int_{0}^{\pi/2} \int_{-\pi/2}^{\pi/2} P_{\alpha} \frac{dP_{\beta}}{d\phi} P_{\gamma} e^{\lambda(m_{\beta}+m_{\gamma}-m_{\alpha})\lambda} e^{\lambda(\tau_{\beta}+\tau_{\gamma}-\tau_{\alpha})t} \cos\varphi d\varphi d\lambda dt$ $S_{\alpha\beta\sigma} = \frac{1}{8\pi^2} \int_{0}^{\pi/2} \int_{-\pi/2}^{\pi/2} P_{\alpha} P_{\beta} P_{\gamma} e^{\lambda(m_{\beta}+m_{\gamma}-m_{\alpha})\lambda} e^{\lambda(\tau_{\beta}+\tau_{\gamma}-\tau_{\alpha})t} \sin\varphi d\varphi d\lambda dt$

さて実際に計算する場合には波数を有限区間と打ち切らせければならない。 予備的実験段階として超長波のふるまり及びその李節変化に議論を励れば、

$$\sum_{\alpha} \equiv \sum_{c=1}^{l} \sum_{m=2}^{2} \sum_{|m|+2}^{|m|+2}$$

とする。ここで空間は平行四辺形切断、また時間範囲を1年と考えている。

せて以上により1mの未知数につき係数が、 $3 \times 5 \times 3 = 45 \, r$ 、共役関係を考えめば 27 r、金都さ6mの未知数があるのと $27 \times 6 = 162 \, r$ の元を持った二次連立方程式系が得られる。

従来の大循環モデルと根本的に違うでいるのがこの部分であり、この連立力程式系を解くことにより、大気のふるまいを配成できる。 もちるん非線型であるために一意的に解くことは出来ないが、適当な first guessもみることによって解ける。

3節で述べたようにSSTの変化に対応して大気がどのようなふるまりを示すかがオーに目標とすることであるので、境界条件としての Of の海洋上さの変化(これは空間的なび時間的に変化していてもよいし、空間的あるりは時間的に constant とおいてもよいわけである)を赤道太平洋に与えた場合の実験から始める。

参考文献 Bjanknes (1966) Tellus, 18, 820-829 (1969) Mon. Wao. Rev., 27, 163-172

詹 嶋 (1974) 天気、<u>≥1</u>、601-608

Sawyer (1963) Arid Zone Res., 20, "Changes of Climate" 333-337

Vorden Hoan & Oort (1973) J. Phys. Oceanogr., 3, 169-172

対流圏超長波エネルギー過程の解析 一非線型運動エネルギー交換量の算定一 岩嶋 樹也 (市都大学理学部)

§ 1° 序 大気大循環において重要が役割を担う起ゑ皮の研究は、解析・理論両面から数多くなさせて きた。 それらにより停滞性・移動性超長沢か存在し、それらの生成維持に寄与するものとして 大規模山岳、海路分布、冷熱溶分布などの効果が知られている。しかしなから、末解明の問題も多く残されており、理論的解析的に研究をはわる以告かある。超長波間の、あるいはそれら

と長波閣の非線空相亞作用も木解明点の一つである。

Saltzman & Fleisher (1960a, 6)以来, あるスケール a渡とそれ以外のすってaスケールの 次との相互作用に関するエネルギー解析は幾つかみられるか、特定の2あるいは3スケールの 波の間のそれに関する餅析的研究は、Kanamiteuetal.(1972)以外に選出せないようである。 しかも、北半球か夏の熱帯収動機れい関するものであったり、短期間の解析のサレか存在しか いようである。本研究は、超兵服相至間の非欲坐的が運動エネルキー交換量を丧年にわたる牛 旬平均テータから写定し,,超受i及エネルギー過程の一面をi例らかにするためのものである。 こ こでは、同種の解析を昨年第一回附念でスペクトル大循環モデル分成八利用するためいかした 、結果に加えて、以後のものを示す。

 $\mathcal{L}(n|m,\ell) = -\frac{1}{3P_0} \int_{-\infty}^{R} \left[\mathbb{R}\left[\mathbb{V}(-n) \cdot [\mathbb{V}(\ell) \cdot \nabla \mathbb{V}(m)] - \frac{\tan \varphi}{a} \mathbb{U}(\ell) \left(\mathbb{U}(-n) \nabla (-m) - \mathbb{U}(-m) \nabla (-n) \right) \right] \cos \varphi \, d\varphi \, d\varphi$

ことで、右回の記号、文字は慣用のものである 上式はさらにも、加る波をれてれられる水のエネルヤー支援項に分けられる。

$$\mathcal{Z}(n|m,e) = \mathcal{Z}C(n,m) - \mathcal{Z}C(n,e)$$

同様に

$$\mathcal{L}(m|n,l) = -\mathcal{L}C(n,m) + \mathcal{L}C(m,l)$$

 $\mathcal{L}(l|n,m) = -\mathcal{L}C(m,l) + \mathcal{L}C(n,l)$

22 13 $\mathcal{L}C(n,m) = -\frac{1}{9R} \int_{0}^{R} \int_{y_{2}}^{y_{2}} \Re[V(n)[V(e)-VMm)] - V(m)[V(e)-VMn)] + 2 \frac{\tan \varphi}{a} U(e)[U(m)V(n) - U(n)V(m)] \} \cos\varphi \, d\varphi \, d\varphi$

 $\mathcal{L}C(n,\ell) = -\frac{1}{gR} \int_{0}^{P_{\bullet}} \int_{\mathbb{R}^{N}}^{\mathbb{R}^{n}} \mathbb{R}e\{V(n)[V(m)\cdot\nabla V(\ell)] - V(\ell)[V(m)\cdot\nabla V(n)] + 2 \frac{1}{\log \ell} U(m)[U(\ell)V(n) - U(n)V(\ell)]\} cog dy dp$

 $\mathcal{L}_{\mathcal{C}}(m,e) = -\frac{1}{g_{\mathcal{B}}^{p}} \int_{-\infty}^{p} \mathbb{I}_{\mathcal{R}_{\mathcal{C}}}^{\mathcal{H}} \{V(m) \cdot [V(n) \cdot \nabla V(e)] - V(e) \cdot [V(n) \cdot \nabla V(m)]$

+ 2 tany U(n)[U(e) U(m) - U(m) U(e)]fcog dydp であり、それぞれ正の場合は、(n→n)、(l→n)、(l→n) 方向へのエネルギー投資がなさ

- Saltzman, B. & A. Fleisher, 1960a: Spectrum of hinetic energy transfer due to-large
 - scale horizontal Bynolds stress. Tellus, 12 110-111.

 , 1960b: The exchange of histoic energy between larger
- * Kanamitsu, M., T.N. Krishnamurti & C. Depressine, 1972: On scale interaction in the twopics during Northern summer: J. atmos. Sci. 29, 698-706.
 *上記以外には、戸矢時美による気象大管核卒業研奏プロッキング現象に関するスペットル研析上からる。

多3° 脚析資料・方法と結果 500 mb; 30° 40°,50°,60°,20°,80°N;1960-1970年の年旬高度データを名稿を含い フーリエ解析した値がら、地側風近似ハより以、ひ風造成分をすめ、上記の身定に料用した。 (ここでは、境界値の評価を行わなかったか、検討すべき問題の一つである)

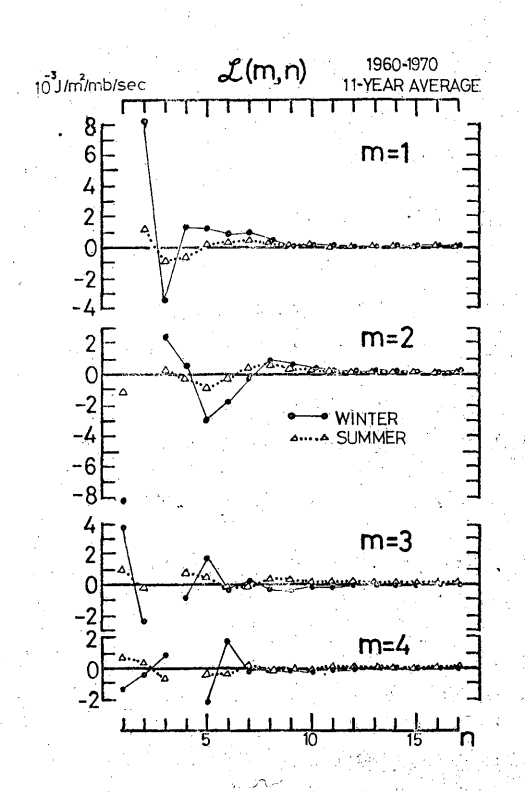
得られら結果は、冬季・夏季・全年についての平均(図巻眼)でも知られるように、

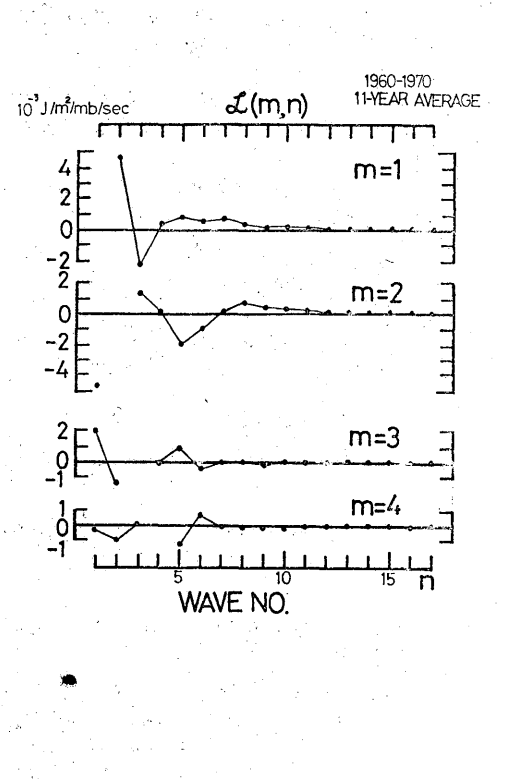
- 1) 波数1,2,3間のエネルキー交換が卓越する。
- 2) 超到波1,2と長波4,5との支換が大でりに次ぐ。
- 3)上记时季即变比1、尽季八年越了る。

年均的が値は上記の面りであるか、さらに季節素は以外 a時間を動を調する目的でスペクトル解析をMEM法[福山麓,1975:例会講演や后集、創刊号、14-17 参照]により行う。

§4° .結び

ここでの写定は、500mb高度のみであり、大気全層に対するものとみですことは少し無視といえよう。 Yang (1967) らの研究を参考に(他のエネルヤー交換をや 前れの又の10mlのに相当するものだかりすれば定性的には問意いないものと推定される。 半旬データ を用いたため、長週ごこで得た結果を 大気全層の与れとすること いとのエネルモー交換か 過小評価されているかある期間の daily データによってもよのことは 見出される。





** 早合誠愛知学院大教授よりご提供頂いた。